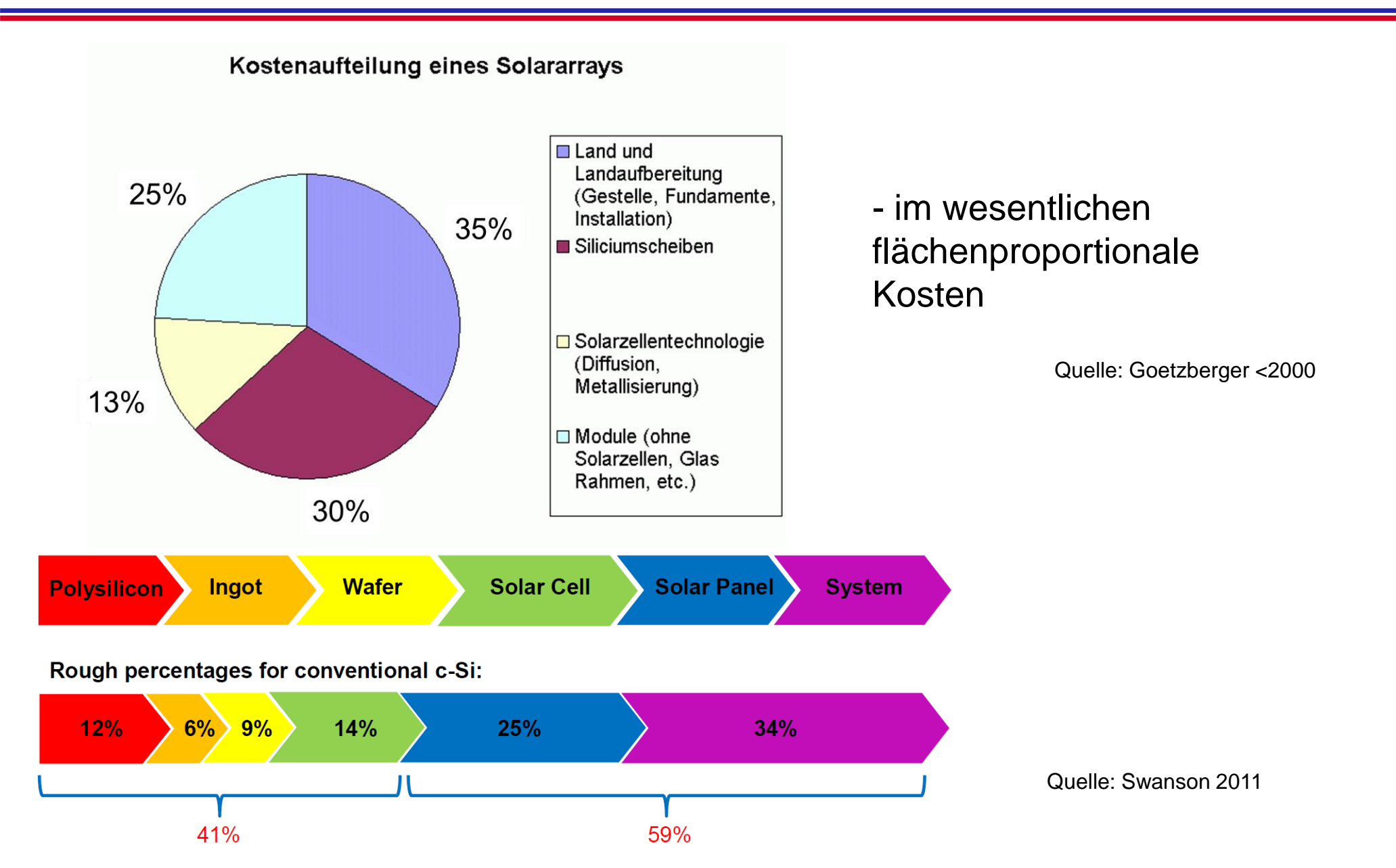
# **Vorlesung Photovoltaik, Kapitel 6**

- 6.1. Si-Solarmodul Herstellungssequenz
  - 6.1.1 Herstellung von reinem Silizium
  - 6.1.2 Kristallzuchtverfahren für Si (CZ, FZ, EFG, Blockgießverfahren)
  - 6.1.3 Herstellung von Si-Scheiben
  - 6.1.4 Herstellung von Si-Bändern
  - 6.1.5 Neue Verfahren (EG-Si-SG-Si) und experimentelle Grenzen
- 6.2 Industrielle Fertigung von Si-Solarzellen (Standard Siebdruck-Solarzelle)
- 6.3 Hochleistungskonzepte für Si-Solarzellen
- 6.4 Von der Zelle (Wafer) zum Modul, Modultechnik
- 6.5 Standardisierte Tests (IEC-Norm)

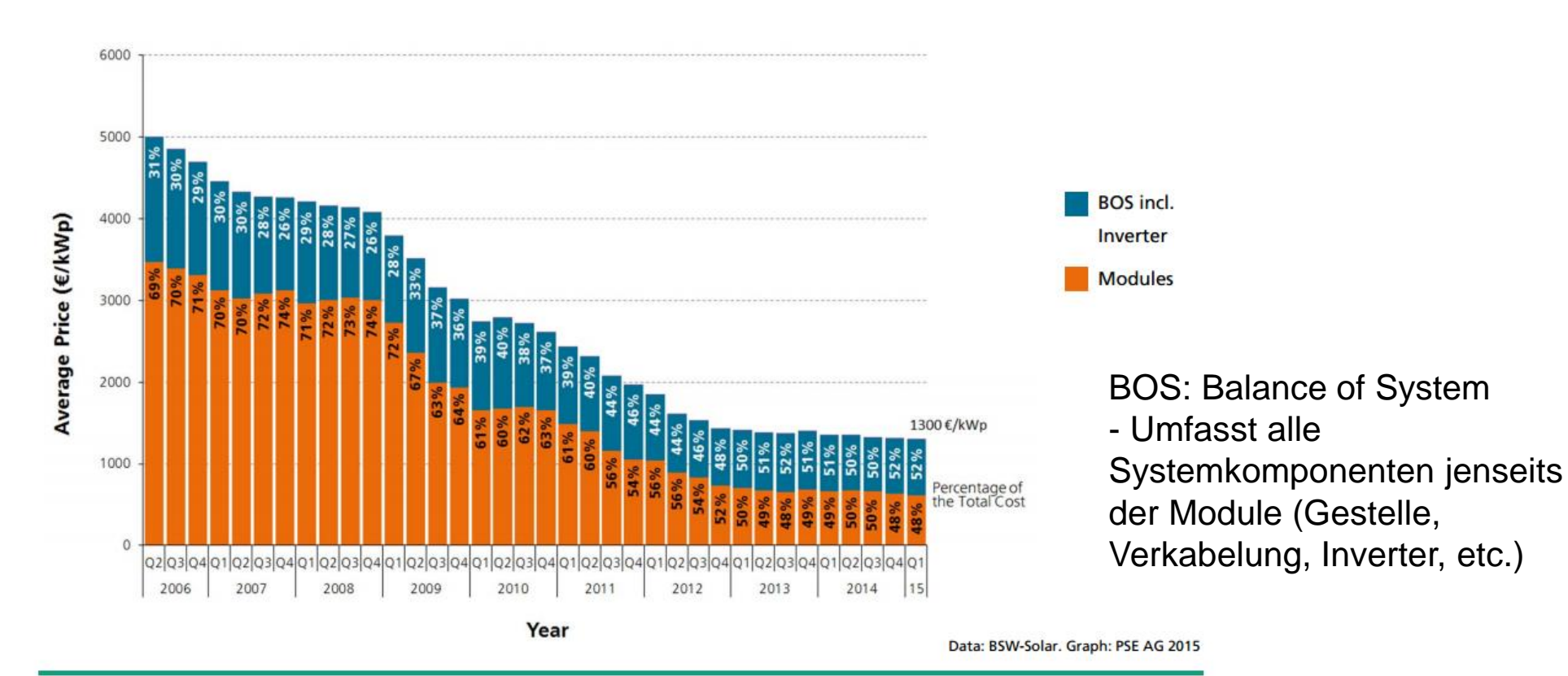
# **Vorlesung Photovoltaik, Kapitel 6.3**

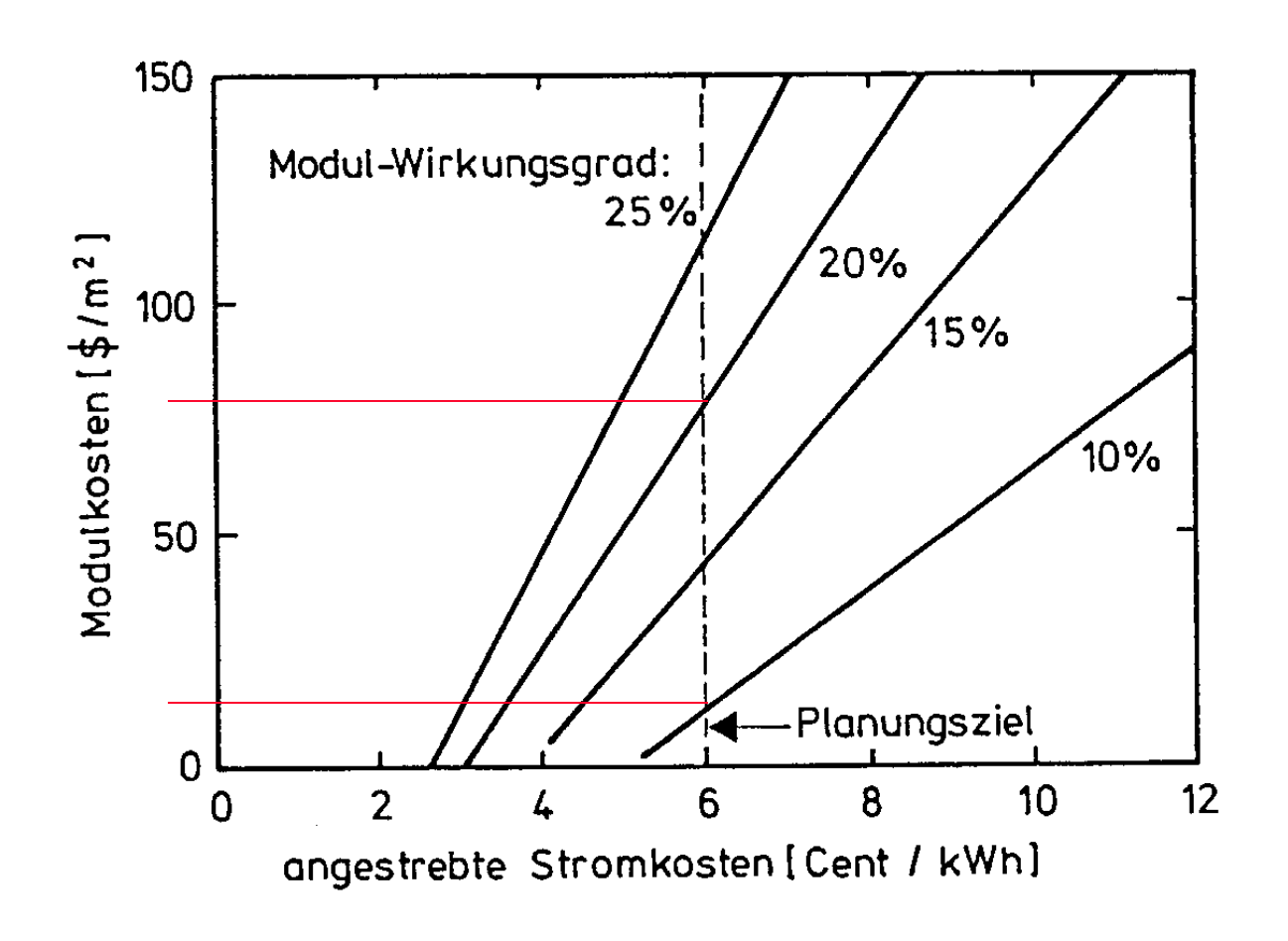
#### 6.3 Hochleistungskonzepte für Si-Solarzellen

- 6.3.1 Rolle des Wirkungsgrades
- 6.3.2 Minimierung rekombinatorischer Verluste
- 6.3.3 Optische Optimierung
- 6.3.4 Minimierung ohmscher Verluste
- 6.3.5 Rückseitenkontaktzellen

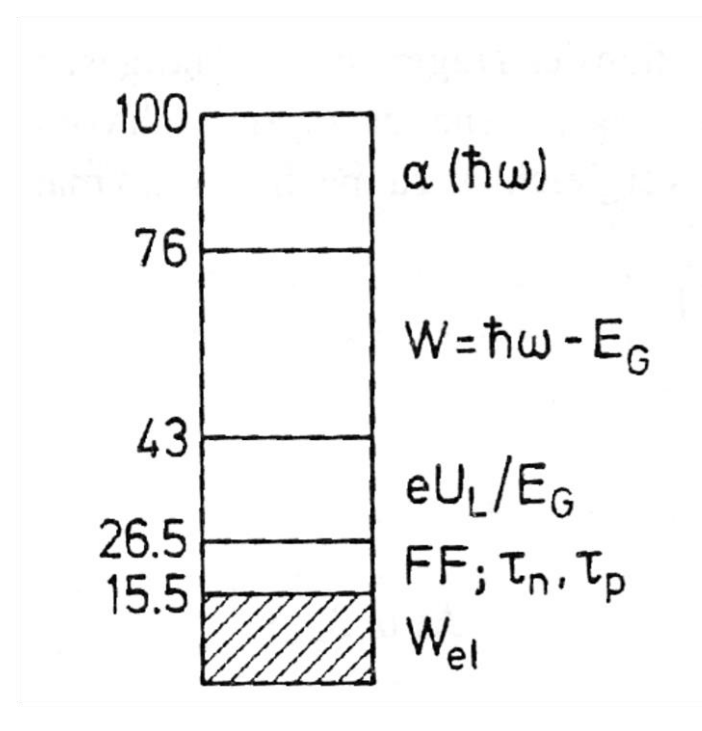


# Average Price for PV Rooftop Systems in Germany (10kWp - 100kWp)

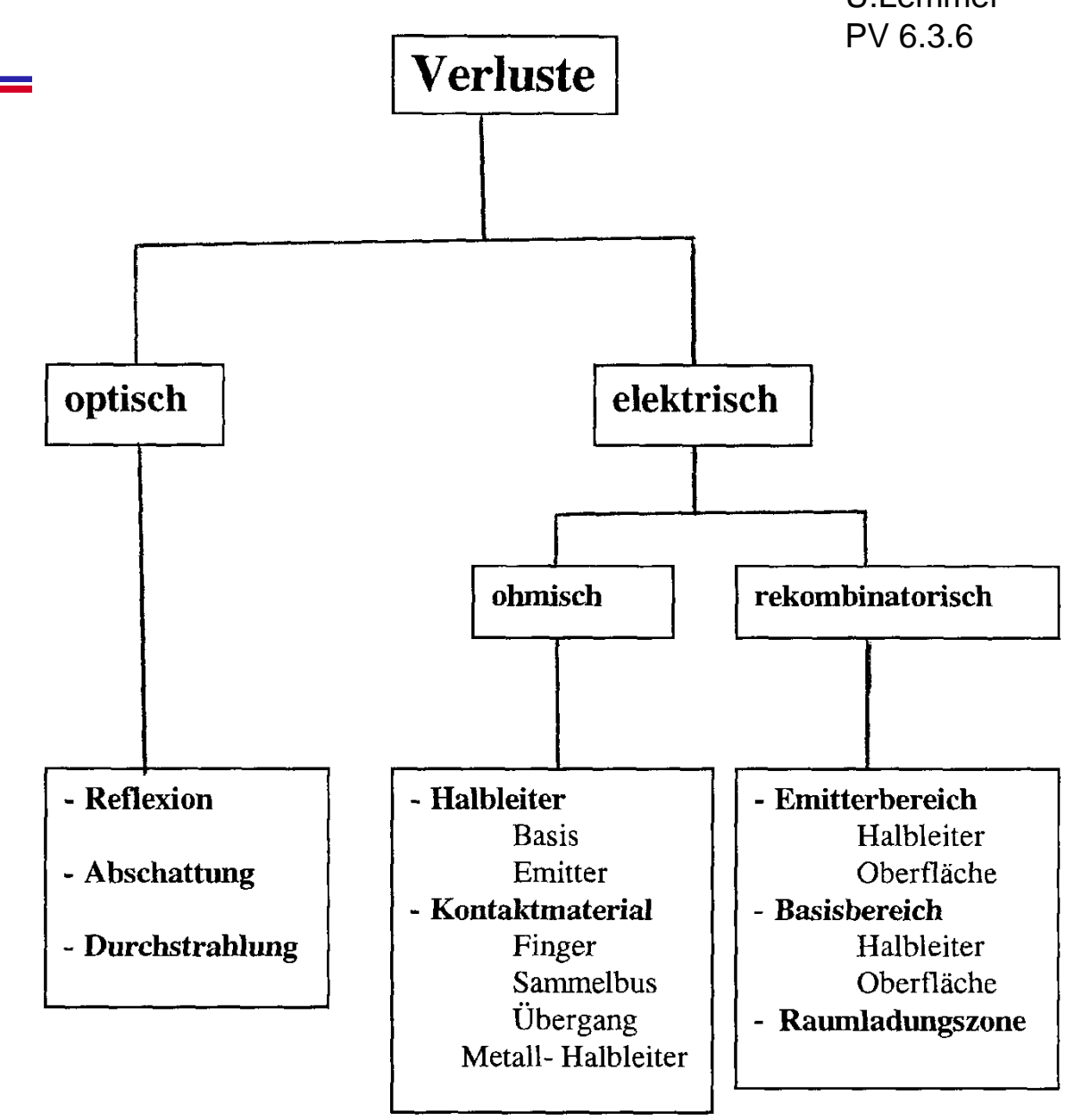




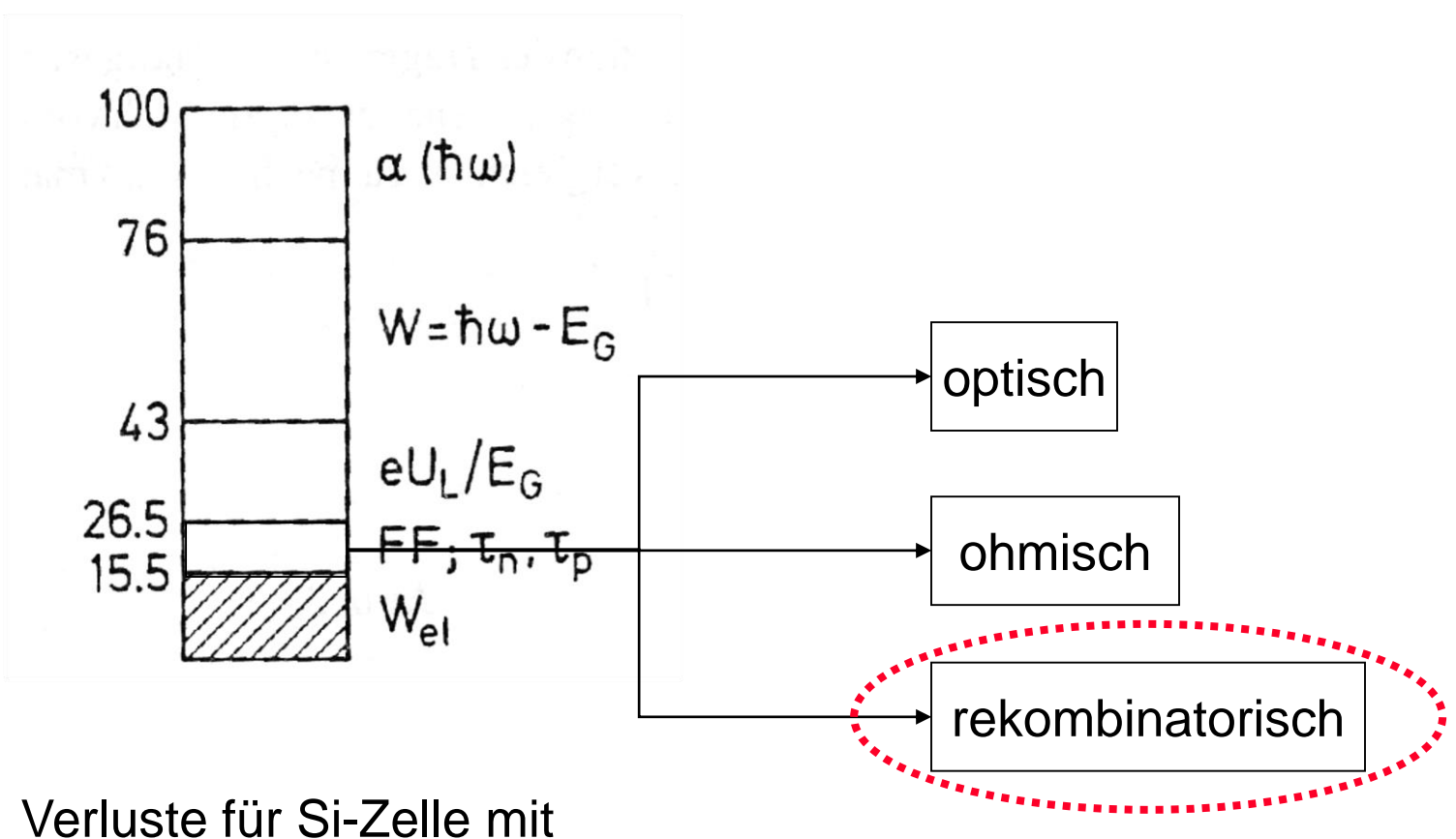
-Verdoppelung des Wirkungsgrades von 10% auf 20 % erlaubt fünffach teurere Module



Verluste für Si-Zelle mit Wirkungsgrad 15.5 %



# Verluste einer typischen Si-Solarzelle



Verluste für Si-Zelle mit Wirkungsgrad 15.5 %

# **Vorlesung Photovoltaik, Kapitel 6.3**

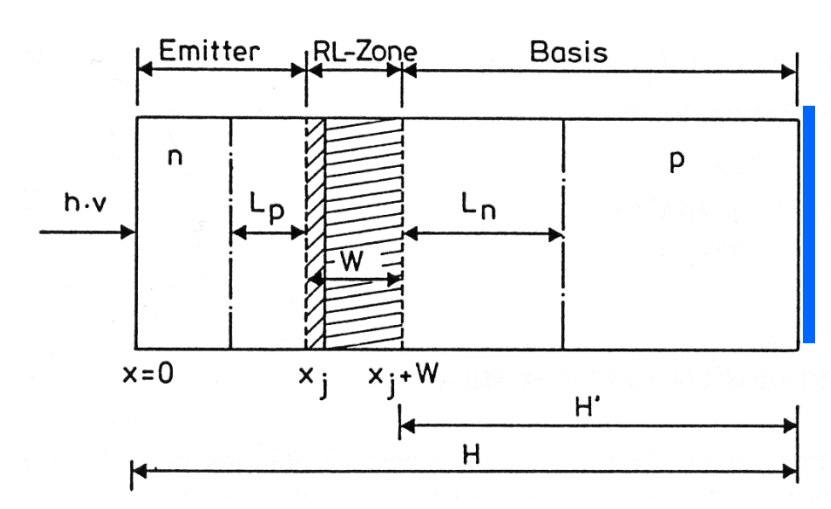
#### 6.3 Hochleistungskonzepte für Si-Solarzellen

- 6.3.1 Rolle des Wirkungsgrades
- 6.3.2 Minimierung rekombinatorischer Verluste
- 6.3.3 Optische Optimierung
- 6.3.4 Minimierung ohmscher Verluste
- 6.3.5 Rückseitenkontaktzellen

## Minimierung von Rekombinationsverlusten

Erinnerung: Strom der Solarzelle

$$I_L = I_E + I_{RZ} + I_B$$

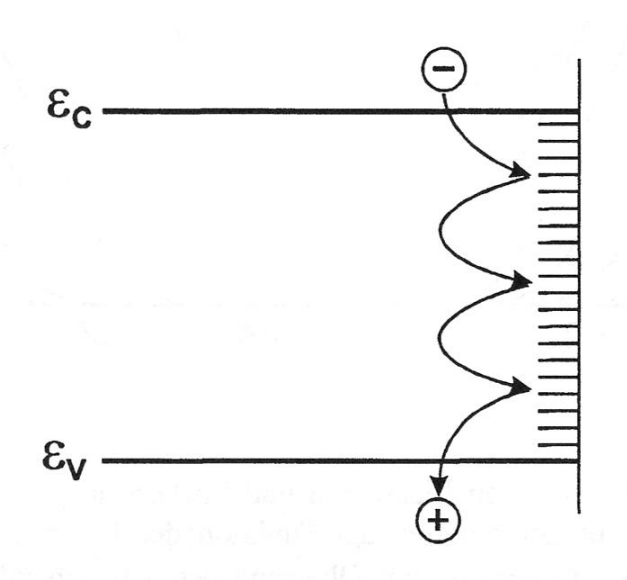


-hoher Basisstrom, wenn in p-Zone generierte Ladungsträger durch Diffusion RZ erreichen → große Diffusionslänge erforderlich

-große Diffusionslänge bedeutet auch, dass photogenerierte Ladungsträger Rückseitenkontakt erreichen können

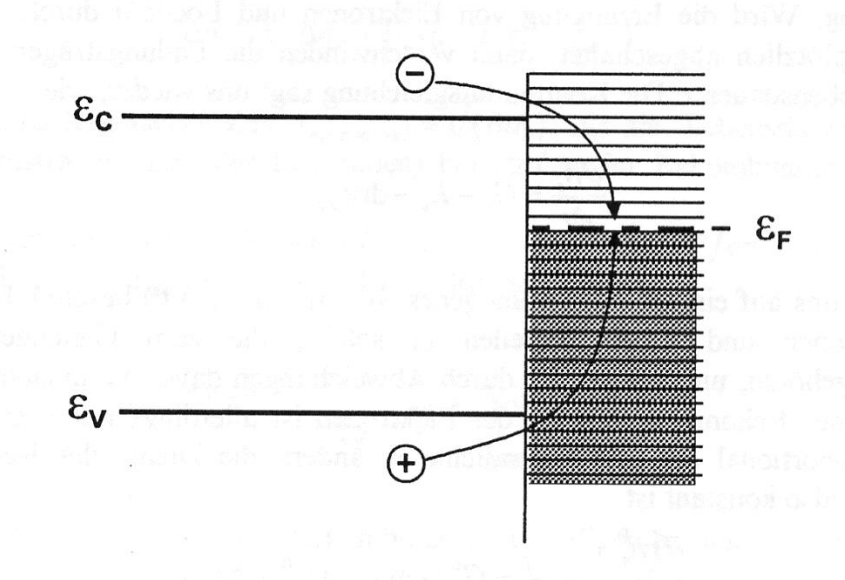
- → unerwünschte Rekombination am Rückseitenkontakt
- → ähnliches (quantitativ aber weniger bedeutsam) gilt für den Frontkontakt

## Oberflächenrekombination



Rekombination über kontinuierlich über der Energie verteilte Oberflächenzustände

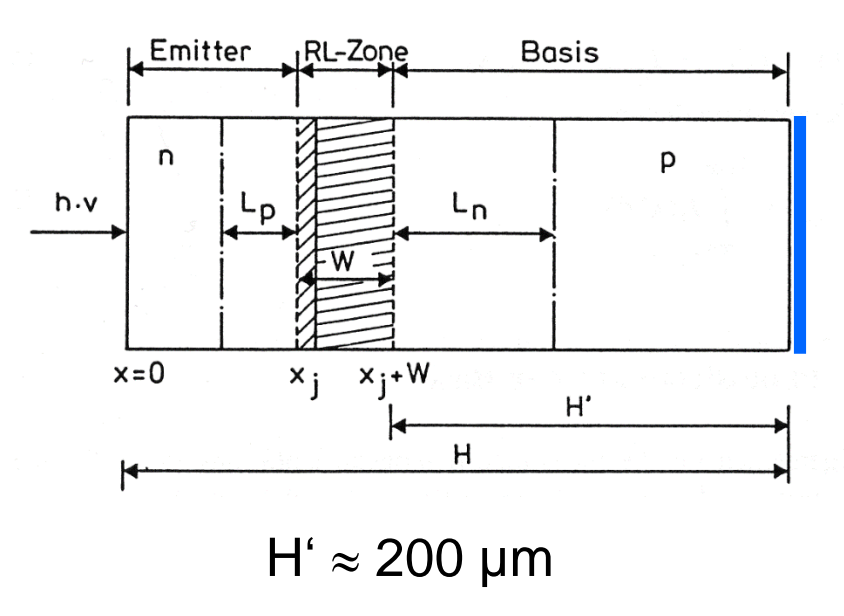
Oberflächenrekombination über Oberflächenzustände



Die Zustandsverteilung am Halbleiter - Metall Kontakt hat eine große Oberflächenrekombinationsgeschwindigkeit zur Folge

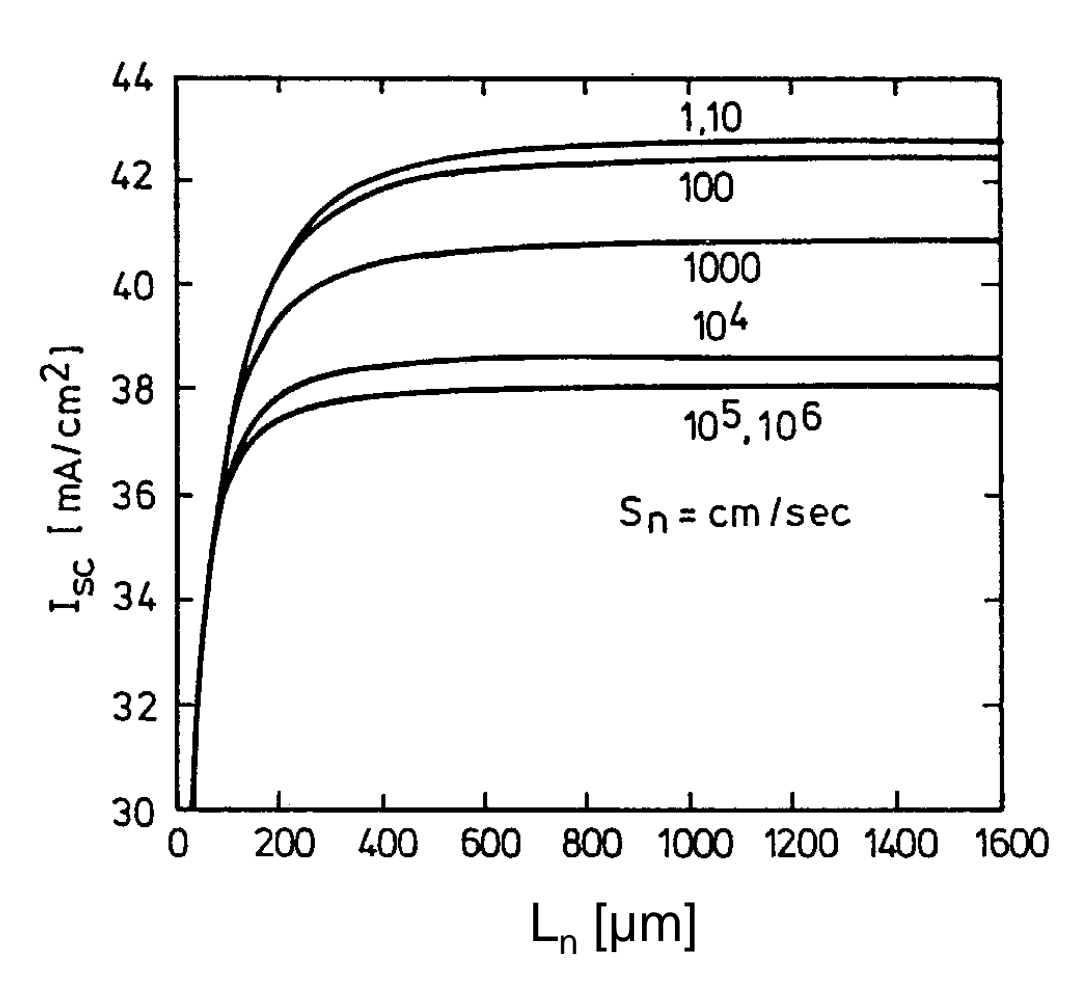
Oberflächenrekombination an der Grenzfläche zum Metall

## Einfluß der Oberflächenrekombination



An der Stelle x=H:

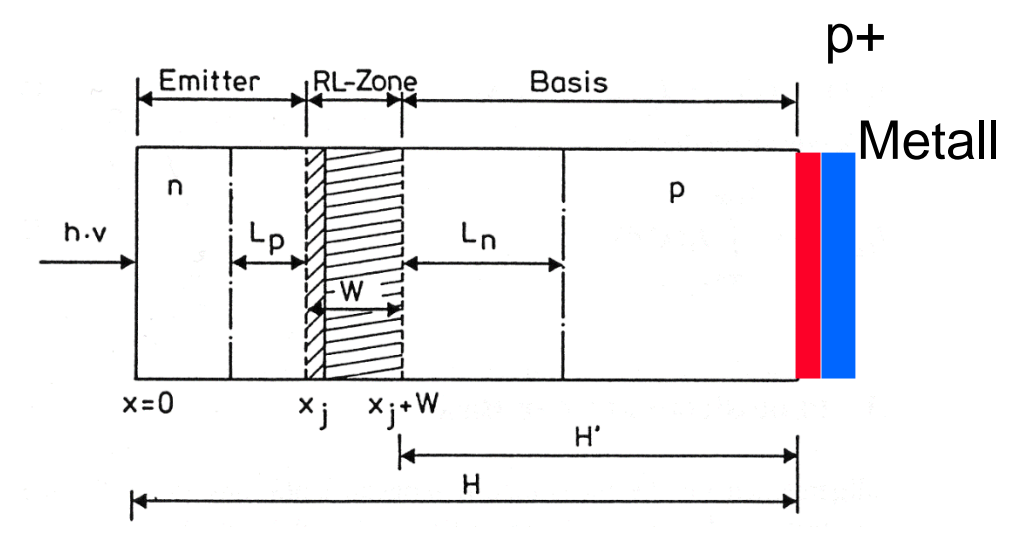
$$S_n \Delta n = -D_n \frac{d(\Delta n)}{dx}$$



-sofern  $L_n$  doppelte Basisdicke übersteigt, wird  $I_{SC}$  durch Oberflächereko. bestimmt

#### Unterdrückung der rückseitigen Oberflächenrekombination

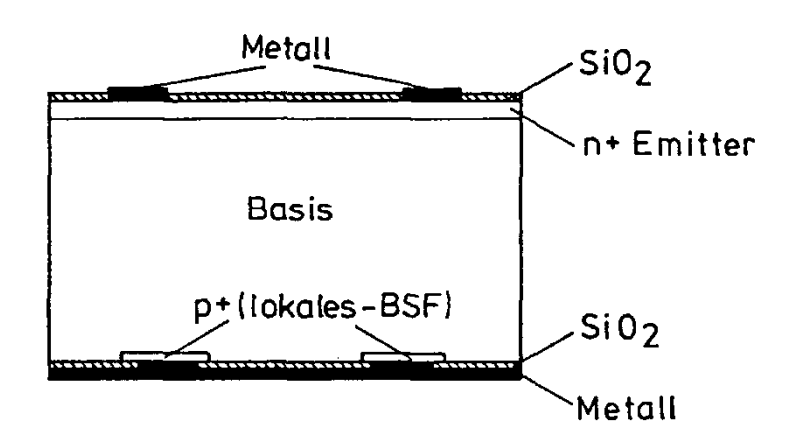
#### **Back-Surface-Field**



-Einbau einer sehr hoch dotierten p+-Schicht führt zu einem pp+-Übergang

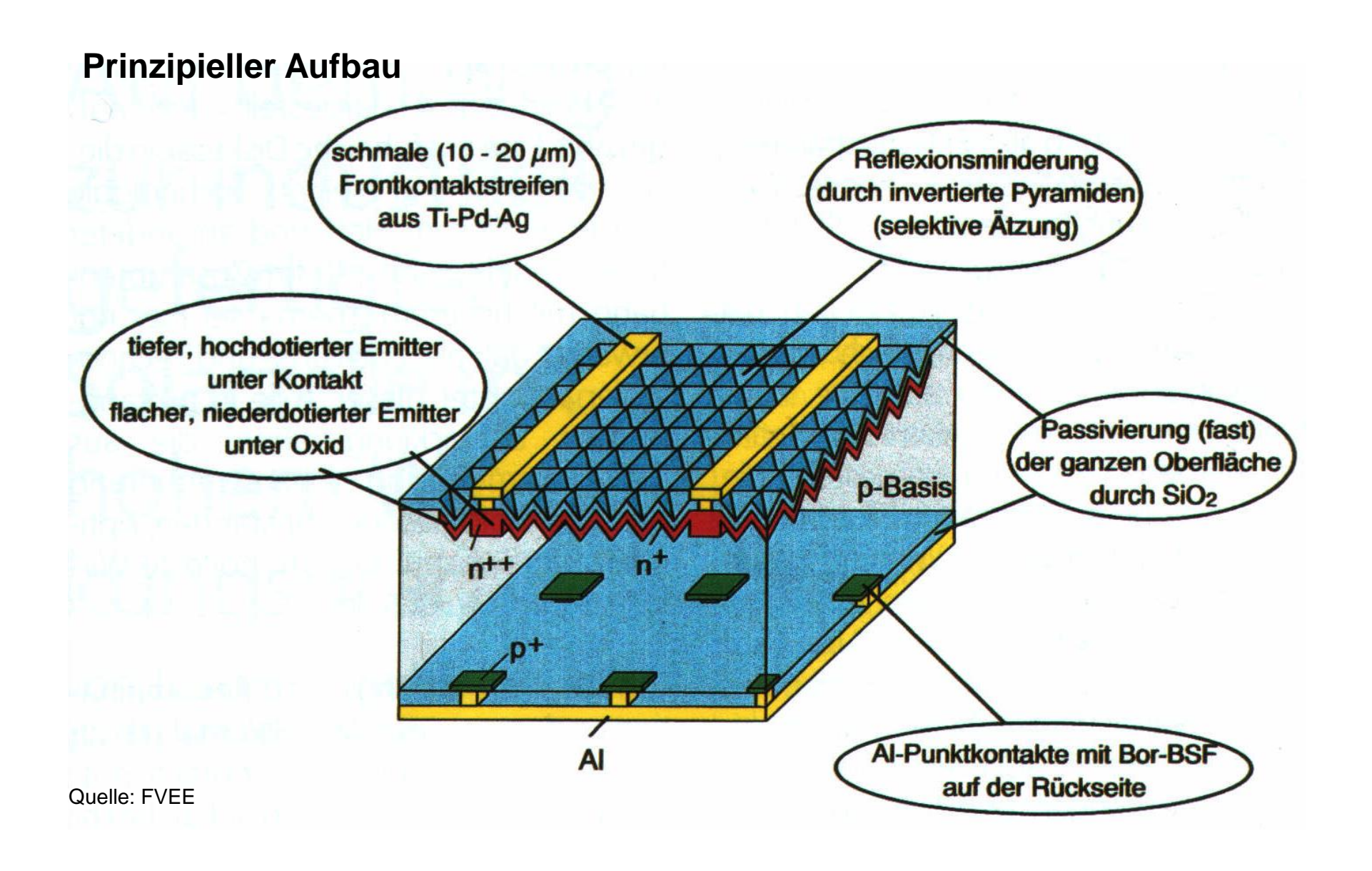
resultierendes E-Feld treibt e's in Basis zurück (elektrischer Spiegel)

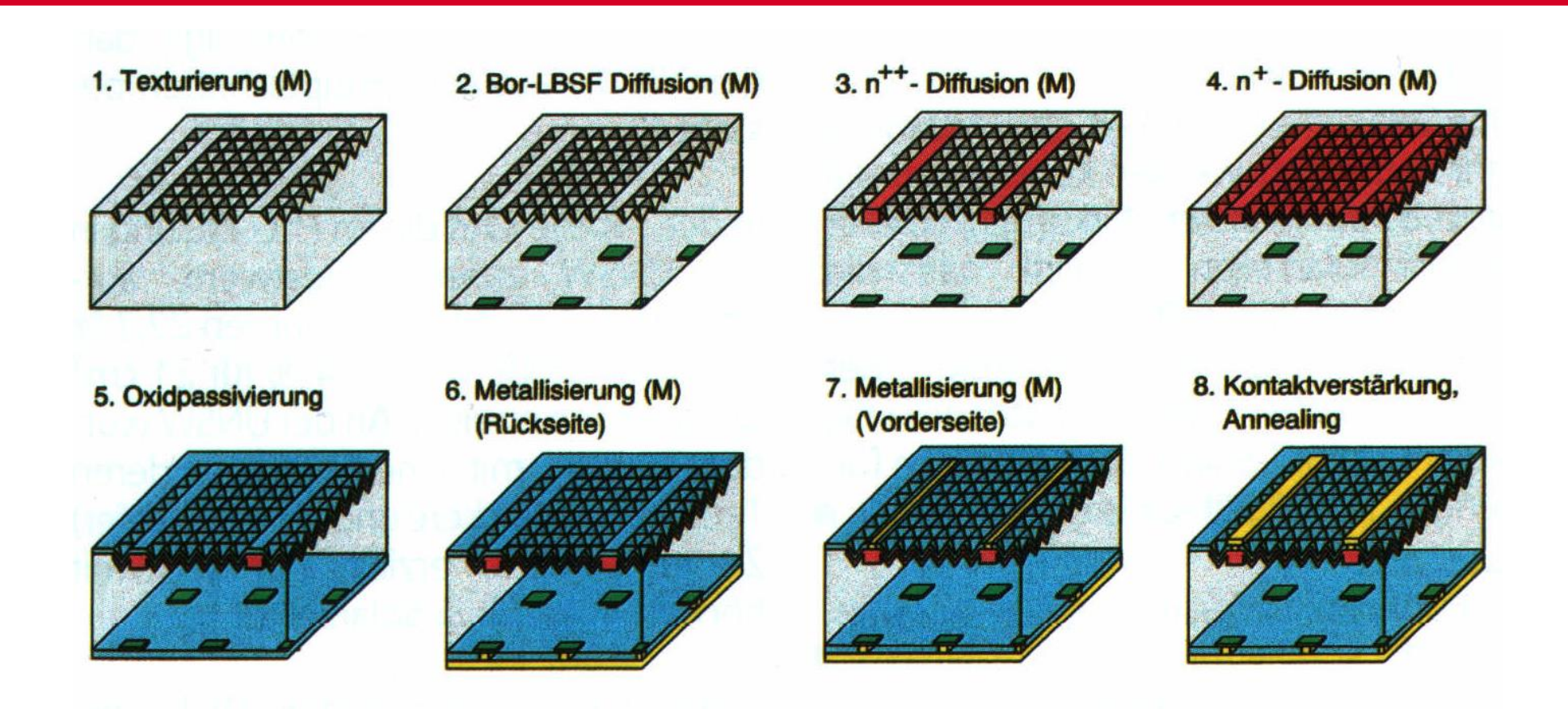
## Nichtflächige Kontaktierung/ Passivierung der Oberfläche/BSF



- -Reduktion der Kontaktfläche auf < 5%
- Reduktion auf S<sub>n</sub> < 100 cm/s
- ebenso Passivierung des Emitters

# Passivated emitter with rear locally diffused (PERL) oder auch LBSF (local back surface field)





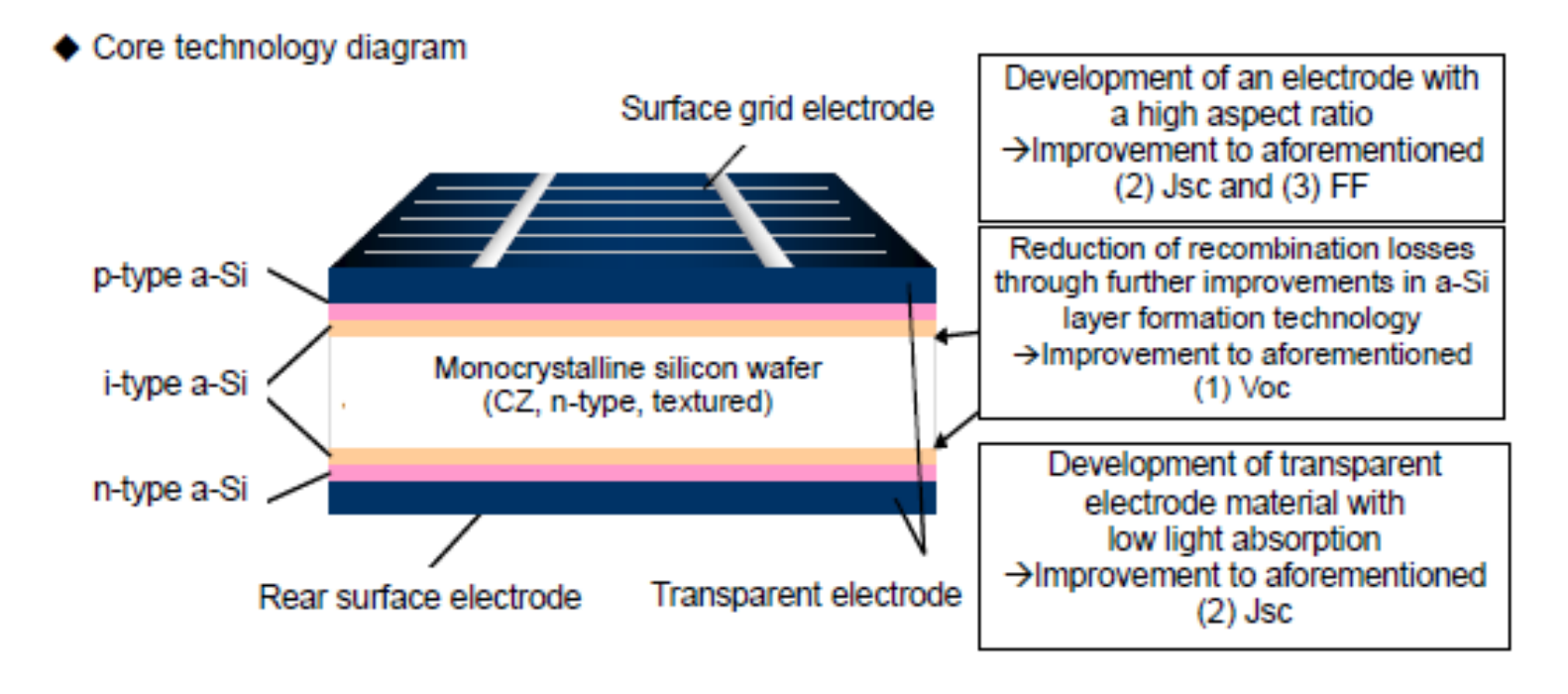
"(M)" bedeutet Maskierung also (für die Massenfertigung zu aufwändige) Photolithographie enthalten

Quelle: FVEE

#### HIT (Heterojunction with Intrinsic Thin layer) Zelle von Sanyo/Panasonic

#### Properties of HIT solar cells

Open voltage (Voc)	0.750 V
Short-circuit current (Isc) [short-circuit current density (Jsc)] 7	4.02 A [39.5 mA/cm <sup>2</sup> ]
Fill factor (FF) <sup>*9</sup>	0.832
Cell transfer efficiency	24.7%
Cell surface area	101.8 cm <sup>2</sup>



## HIT Zelle von Sanyo/Panasonic

Heterokontakt a-Si---c-Si ca. 19.5% Wirkungsgrad, Module bis 17,3% (180W), (Rekordzellen bis 25,6%!!) 100 cm² thin wafer < 200 µm

Aufbau (TCO, p-i a-Si, n-c-Si/wafer, i-n a-Si, TCO, Ag screen printing Modul 96 Zellen, 190 W; 18,3%/Zelle; Modul 16,2 % HIT -0,33 % / °C / pin -0,45 % / °C ! Bifaciales Konzept Multimegawatt-Fertigung

Bei der HIT-Solarzelle von Sanyo wird das sehr gute Absorptionsvermögen und die passivierende Wirkung des amorphen Siliziums mit den guten elektronischen Eigenschaften von monokristallinem Silizium kombiniert.

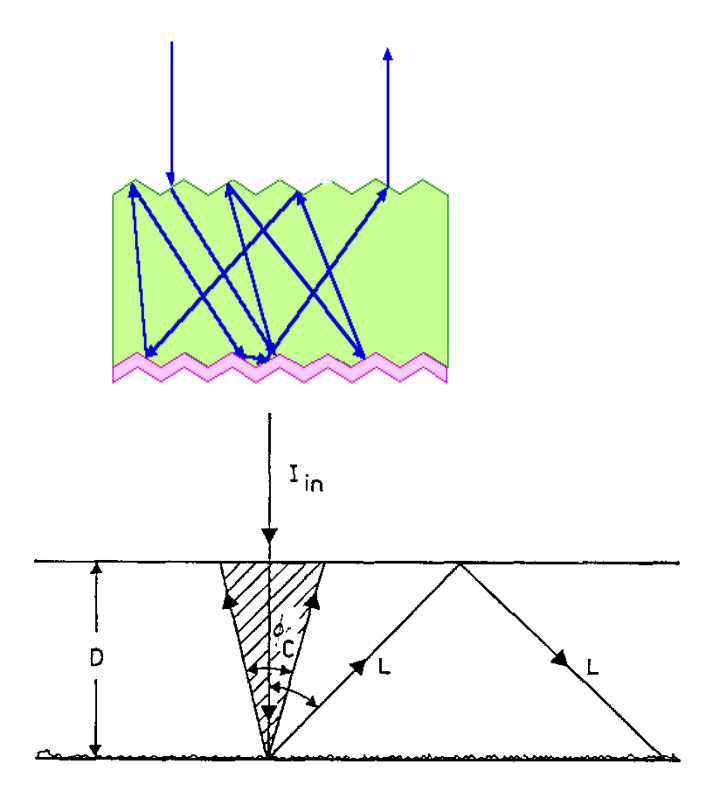
Der Emitter besteht aus einer sehr dünnen amorphen Silizium-Schicht während die Basis aus einem (n-leitenden) monokristallinem Silizium-Wafer besteht.

# **Vorlesung Photovoltaik, Kapitel 6.3**

#### 6.3 Hochleistungskonzepte für Si-Solarzellen

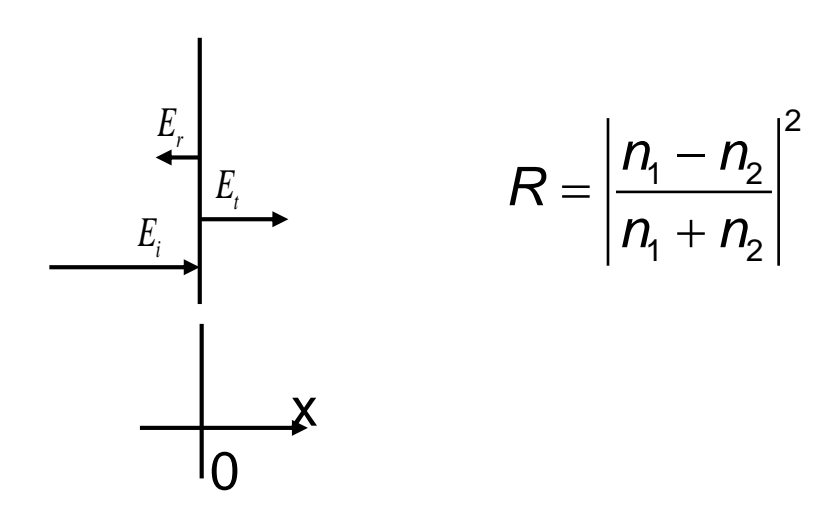
- 6.3.1 Rolle des Wirkungsgrades
- 6.3.2 Minimierung rekombinatorischer Verluste
- 6.3.3 Optische Optimierung
- 6.3.4 Minimierung ohmscher Verluste
- 6.3.5 Rückseitenkontaktzellen

### Geometrische Erwägungen



- -Spiegelung am Rückseitenkontakt
- besser: diffuse rückseitige Reflexion
- "light trapping"

Reflexion an einem Brechungsindexsprung



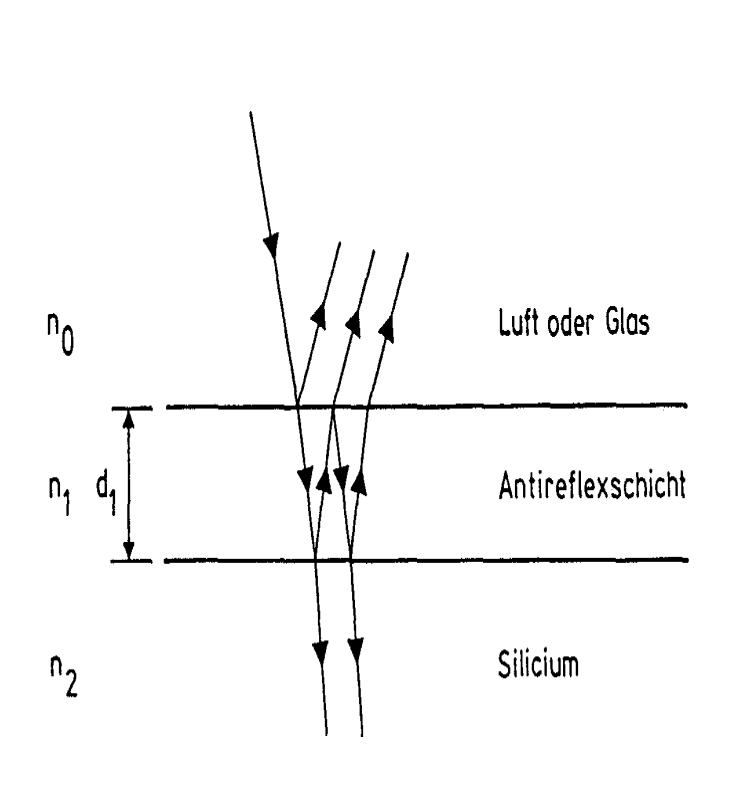
Bsp.: Si-Oberfläche

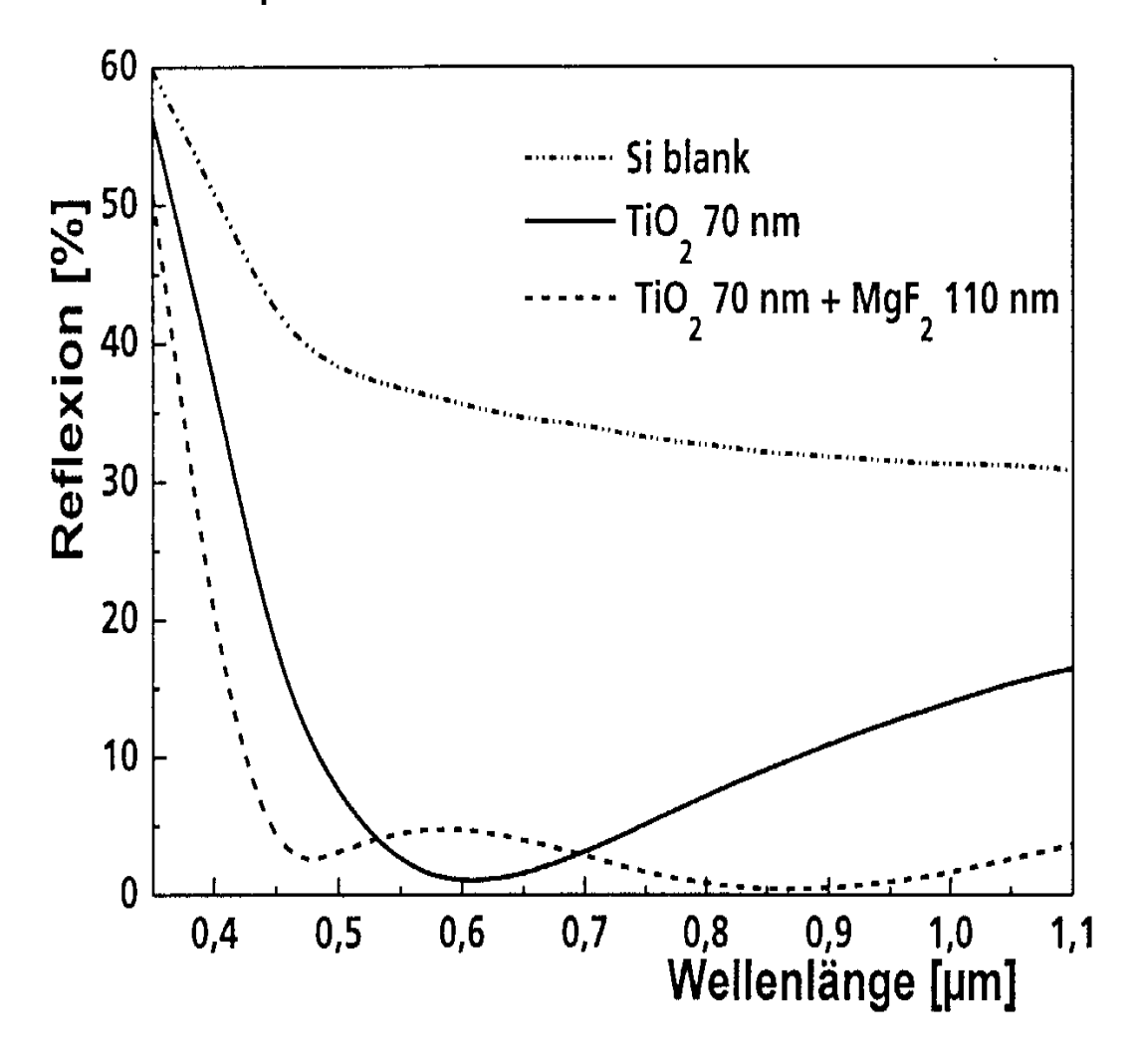
$$\lambda$$
=600 nm  $\rightarrow$  n $\approx$ 4

$$R = \left| \frac{1-4}{1+4} \right|^2 = 0.36 \rightarrow 36 \% \text{ Reflexion } !!$$

# Minimierung von optischen Verlusten

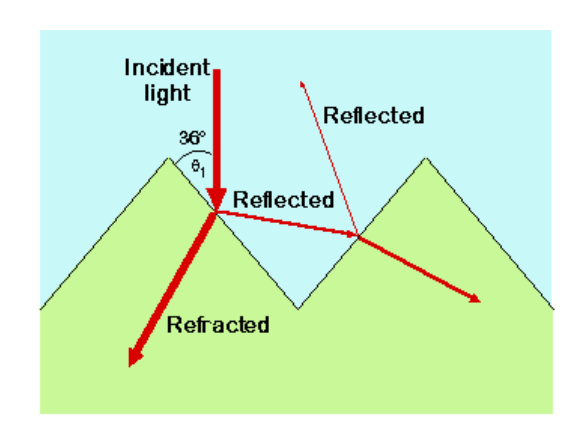
Reduktion der Reflexionsverluste durch optimierte Antireflexschichten:



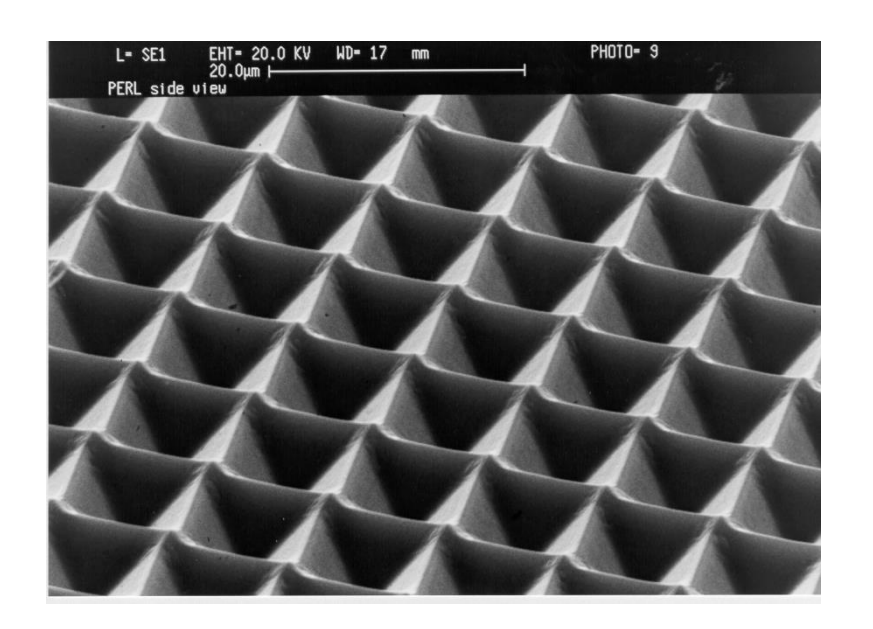


# Texturierung der Oberfläche

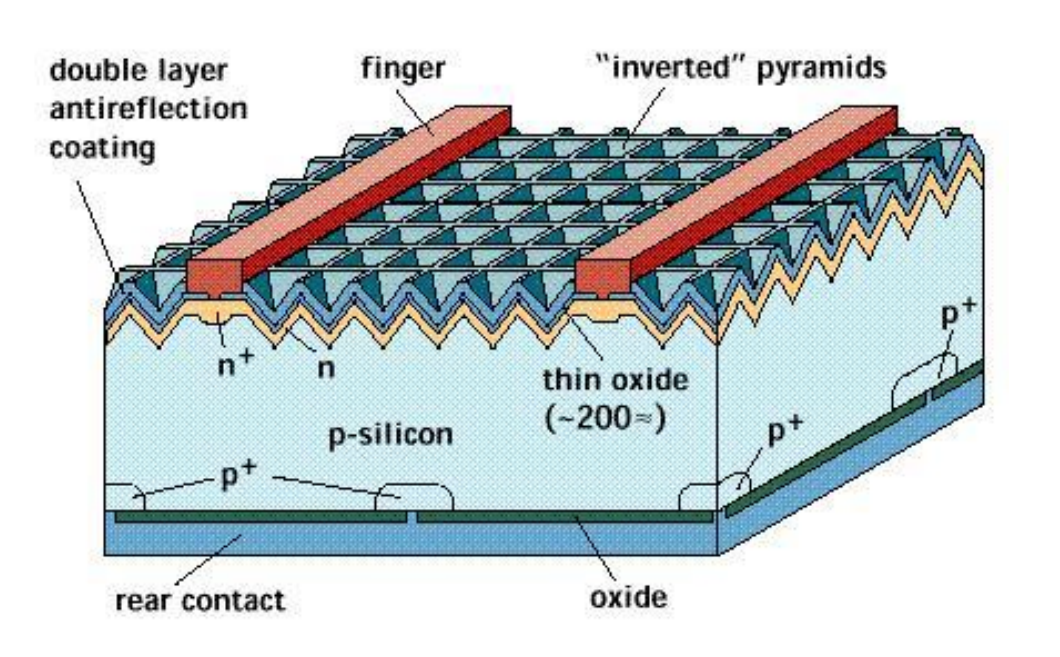
-Herstellung von invertierten Pyramiden durch spezielle Ätzprozesse



Reduktion der Gesamtreflexion von AM 1,5 Strahlung:



## Texturierung der Oberfläche: Pyramiden



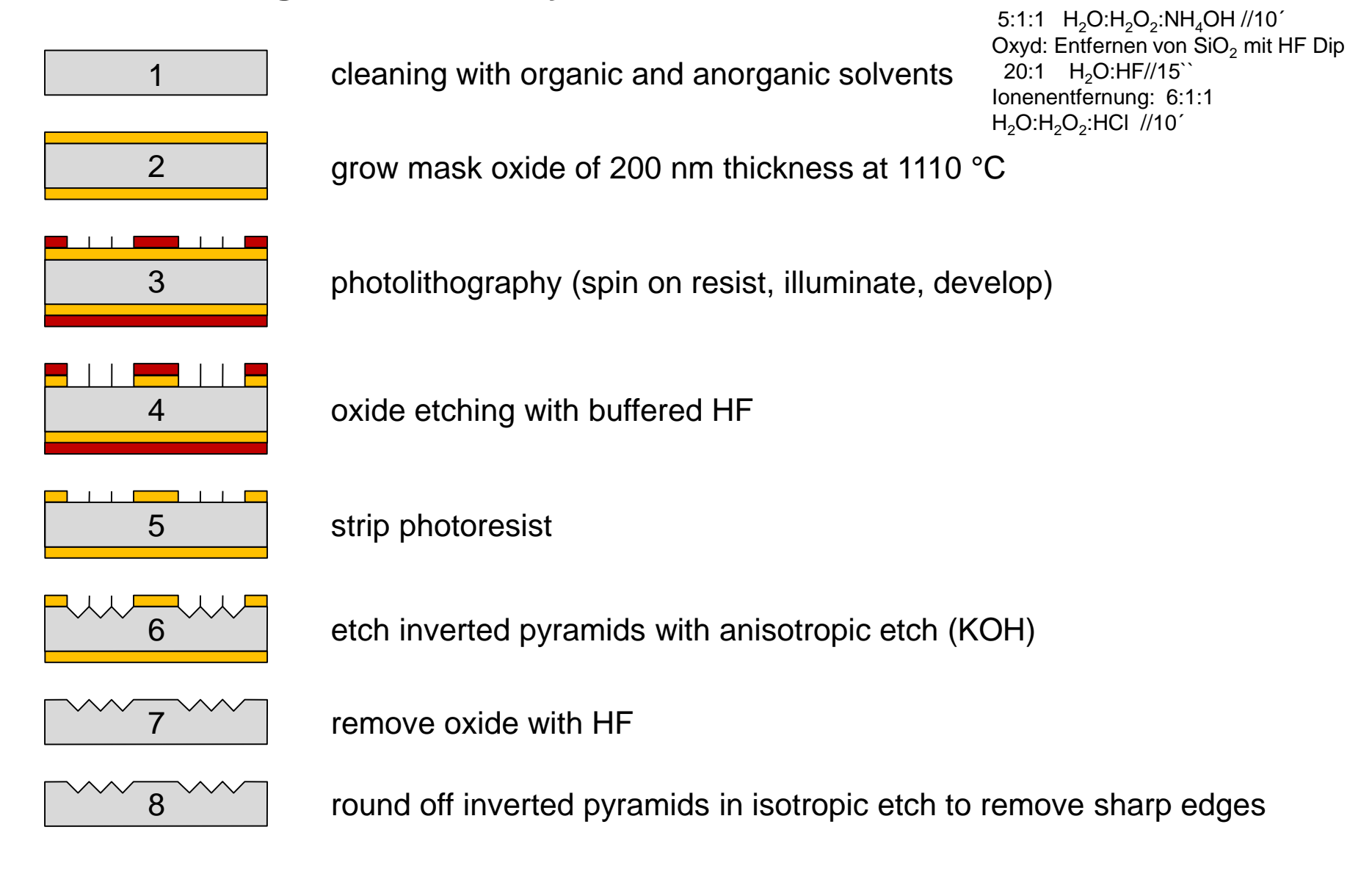
25 %-Zelle (U of New South Wales, Australien)

- -extrem reines einkristallines Silizium
- -strukturierte Oberfläche und AR-Beschichtung
- -dünne Finger aus Ag
- -passivierte Emitterseite
- -emitterseitige Punktkontakte mit Hochdotierung

## Herstellung von Hocheffizienz-Zellen aus Silizium

U.Lemmer PV 6.3.22

#### l Herstellung Invertierter Pyramiden



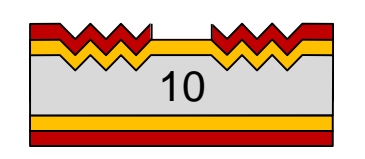
Quelle: nach J. Werner, IPV

#### **Frontkontakt: Diffusion**

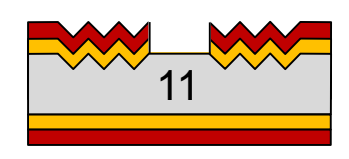


#### RCA-cleaning;

grow mask oxide of 200 nm thickness at 1100 °C



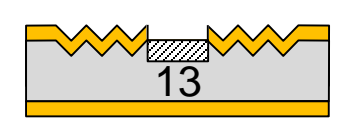
photolithography (spin on resist, illuminate, develop)



oxide etching with buffered HF



strip photoresist; RCA-cleaning



n<sup>+</sup>-contact diffusion at 900 °C to 20  $\Omega$ / $\square$ 



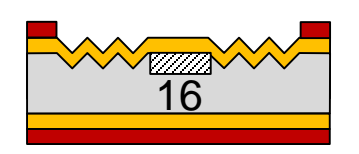
etch off oxide with HF

### **Emitter Herstellung: Diffusion**

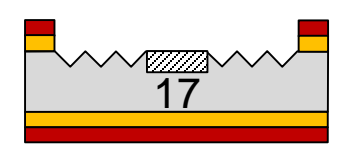


#### RCA-cleaning;

grow mask oxide of 200 nm thickness at 1100 °C



photolithography (spin on resist, illuminate, develop)



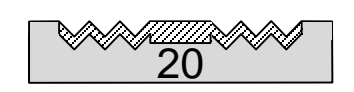
oxide etching with buffered HF



strip photoresist; RCA-cleaning



n-type emitter diffusion at 850 °C to 200  $\Omega/\Box$ 



etch off oxide with HF

#### Punktkontakte an der Rückseite



photolithography (spin on resist, illuminate, develop)



evaporate AI (p-type dopant) for point contacts



lift-off; strip photoresist; RCA-cleaning

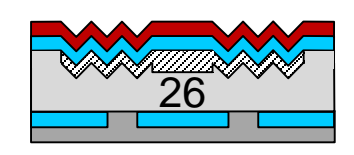
### Rückseitenmetallisierung



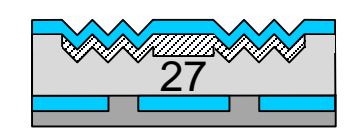
grow high quality oxide of 100 nm thickness at 1000 °C for passivation of surfaces and as antireflecting coating



spin on resist to protect front side during evaporation in step 26

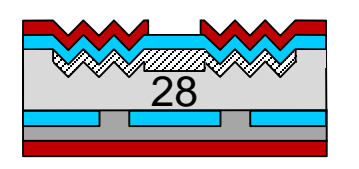


evaporate AI for back side metallization

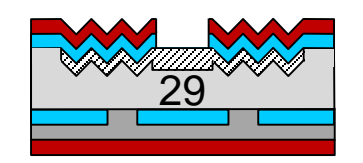


sinter back side metallization at 400 °C in forming gas

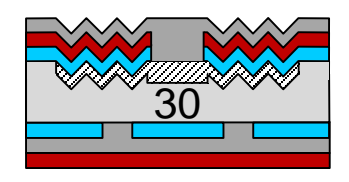
## Frontkontakt Metallisierung



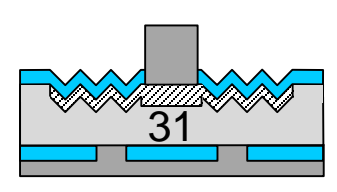
photolithography (spin on resist, illuminate, develop)



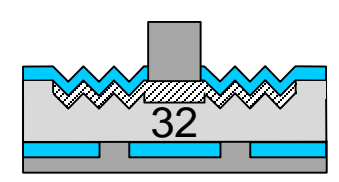
oxide etching with buffered HF



evaporate Ti/Pd/Ag for front side metallization



lift-off metal; increase thickness of Ag by galvanic deposition



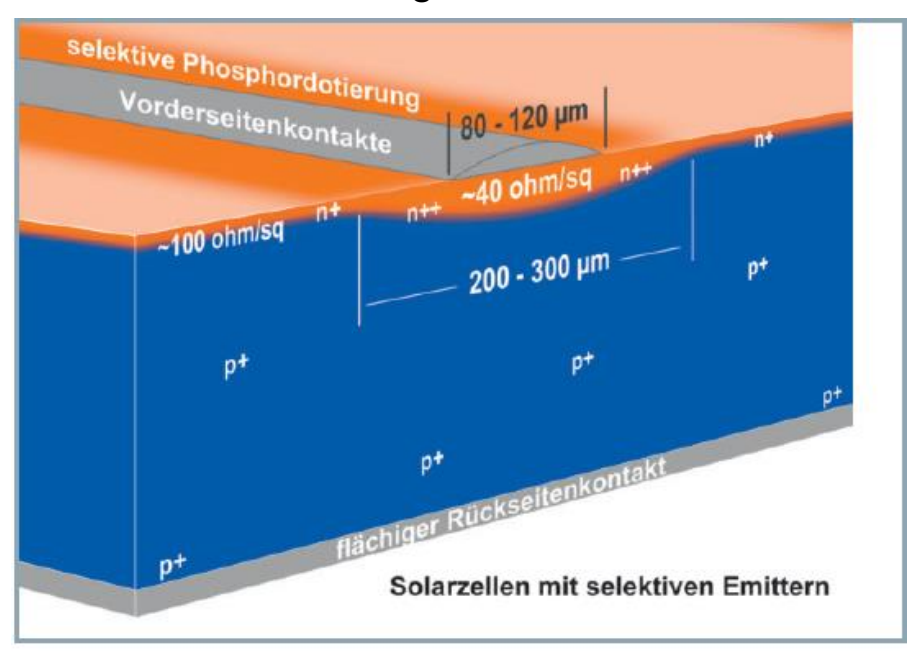
sinter front side metallization at 400 °C in forming gas

## **Selektiver Emitter Konzept**

Erhöhte Dotierung unter der Vorderseitenkontakte ohne Photolithographie

Vermeidung von Ätzschritten und Maskierungsschritten durch

- → Laser: selektive Erwärmung der P-Paste
- → Streifenförmiges Printen



→ kleiner Kontaktwiderstand, hohe Blauempfindlichkeit

Quelle: http://files.hanser.de/hanser/statisch/fz/lpro/LM110010.pdf

→ Spitzen-Wirkungsgrad von 19,2 Prozent basieren auf monokristallinem Wafermaterial (Czochralski Ziehverfahren) mit konventioneller siebgedruckter Aluminium-Rückseite (26.04.2011 | Quelle: Sunrise Global Solar Energy 28 | solarserver.de © Heindl Server GmbH )

## Si Champions: Stand Mai 2015

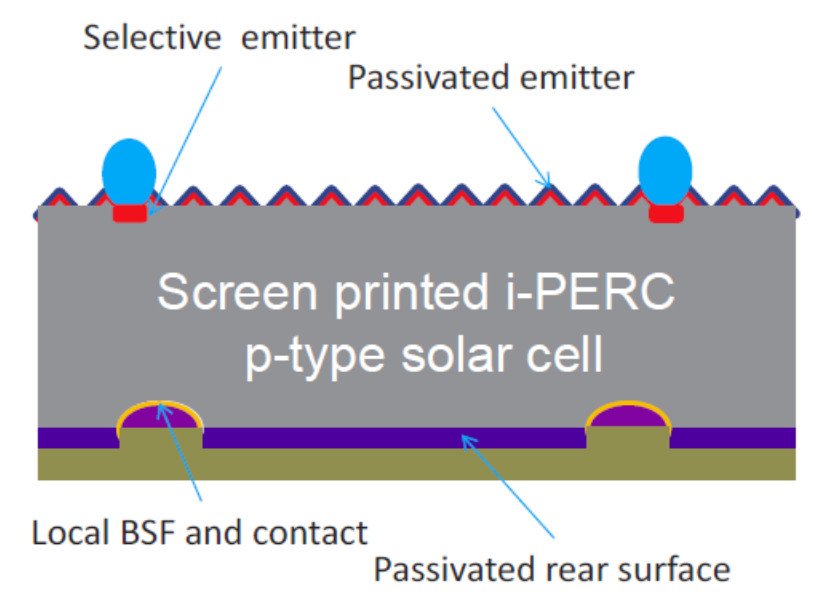


Table I: Measured parameters of champion Mono-crystalline silicon i-PERC solar cell

Area	$V_{oc}$	$J_{sc}$	FF	Efficiency
$(cm^2)$	(mV)	$(mA/cm^2)$	(%)	(%)
244.11	672.1	39.65	80.31	21.40

passivation layer
n-type c-Si
i-type a-Si
p-type a-Si
n-type a-Si

**Fig. 3** Schematic of 25.6% efficient rear-junction heterojunction cell.

Table II: Measured parameters of champion Multi-crystalline silicon i-PERC solar cell

Area	V <sub>oc</sub>	$J_{sc}$	FF	Efficiency
$(cm^2)$	(mV)	$(mA/cm^2)$	(%)	(%)
243.89	663.6	39.03	80.26	20.76

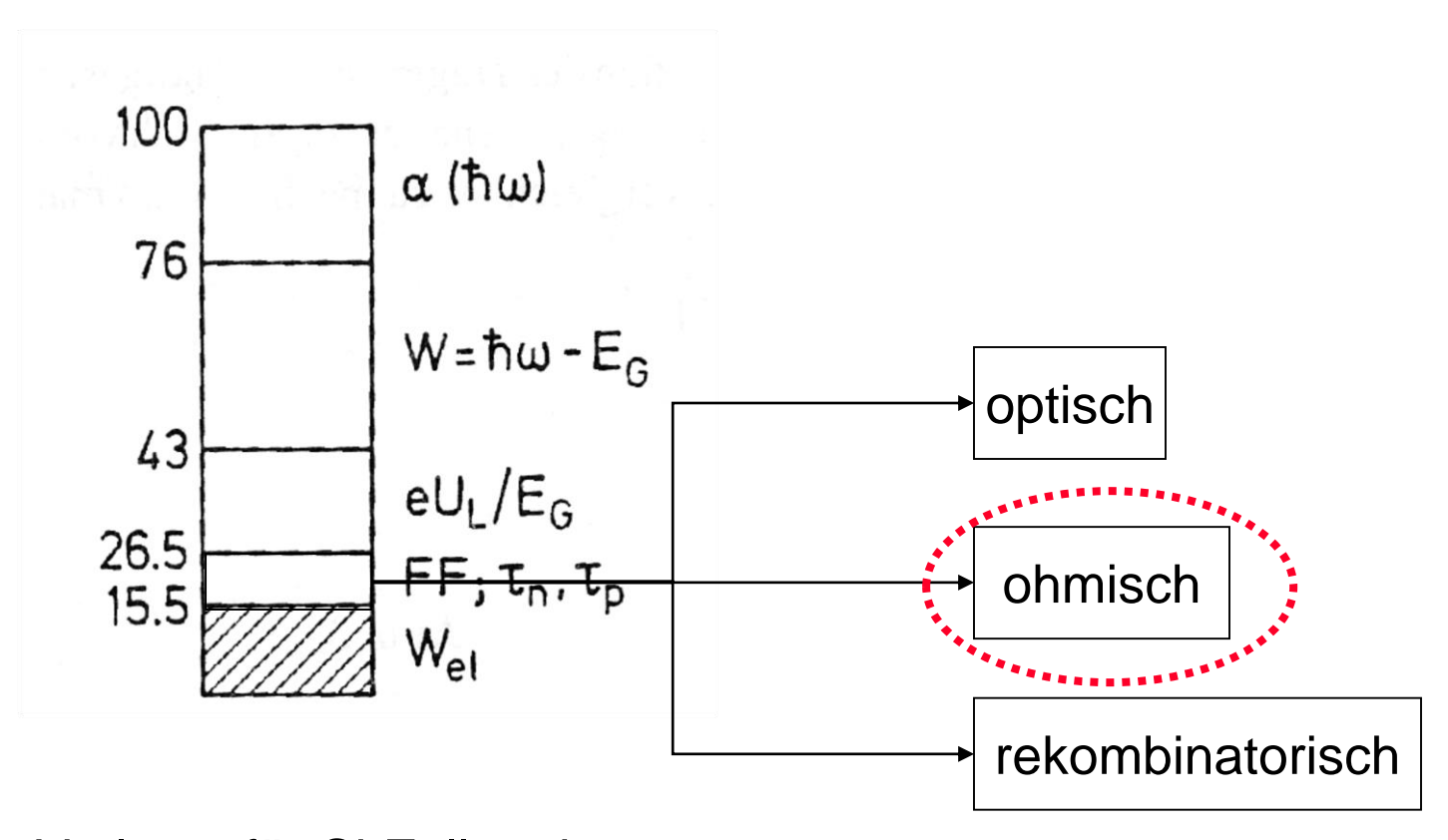
Quelle: PVSEC 2014

# **Vorlesung Photovoltaik, Kapitel 6.3**

#### 6.3 Hochleistungskonzepte für Si-Solarzellen

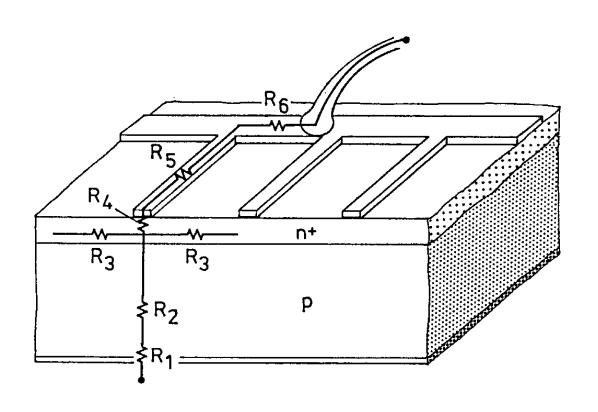
- 6.3.1 Rolle des Wirkungsgrades
- 6.3.2 Minimierung rekombinatorischer Verluste
- 6.3.3 Optische Optimierung
- 6.3.4 Minimierung ohmscher Verluste
- 6.3.5 Rückseitenkontaktzellen

# Verluste einer typischen Si-Solarzelle PV 6.3.31



Verluste für Si-Zelle mit Wirkungsgrad 15.5 %

# Minimierung von Ohmschen Verlusten V



R<sub>1</sub>: Widerstand Metall-Halbleiter-Kontakt Rückseite

R<sub>2</sub>: Widerstand der Basis

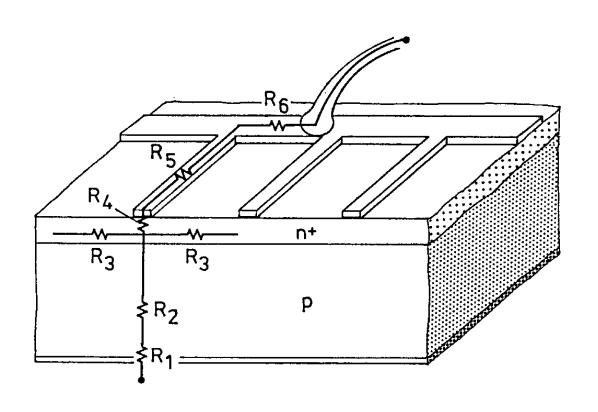
R<sub>3</sub>:Lateralwiderstand Emitter

R<sub>4</sub>:Widerstand Metall-Halbleiter Kontakt am Gitterfinger

R<sub>5</sub>: Widerstand Gitterfinger

R<sub>6</sub>: Widerstand Sammelbus

# Minimierung von Ohmschen Verlusten



R<sub>1</sub>: Widerstand Metall-Halbleiter-Kontakt Rückseite

R<sub>2</sub>: Widerstand der Basis

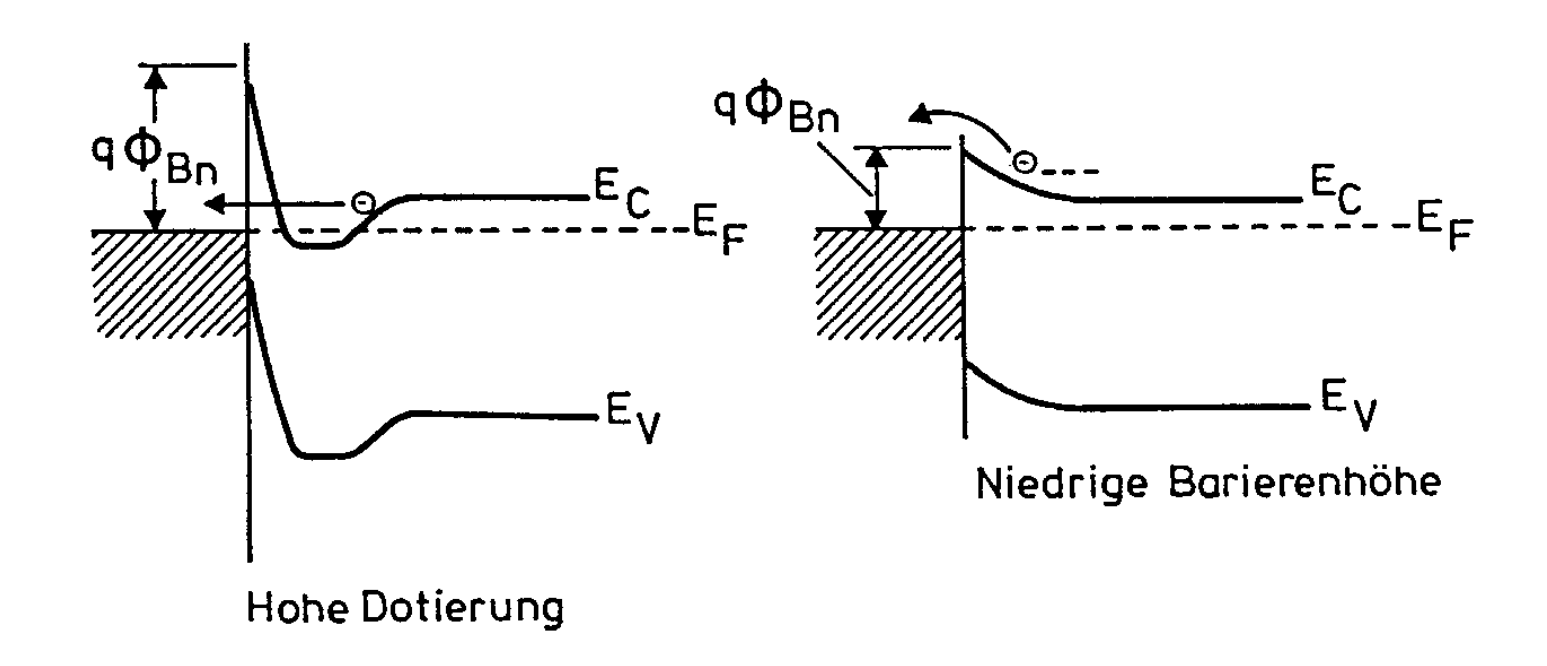
R<sub>3</sub>:Lateralwiderstand Emitter

R<sub>4</sub>:Widerstand Metall-Halbleiter Kontakt am Gitterfinger

R<sub>5</sub>: Widerstand Gitterfinger

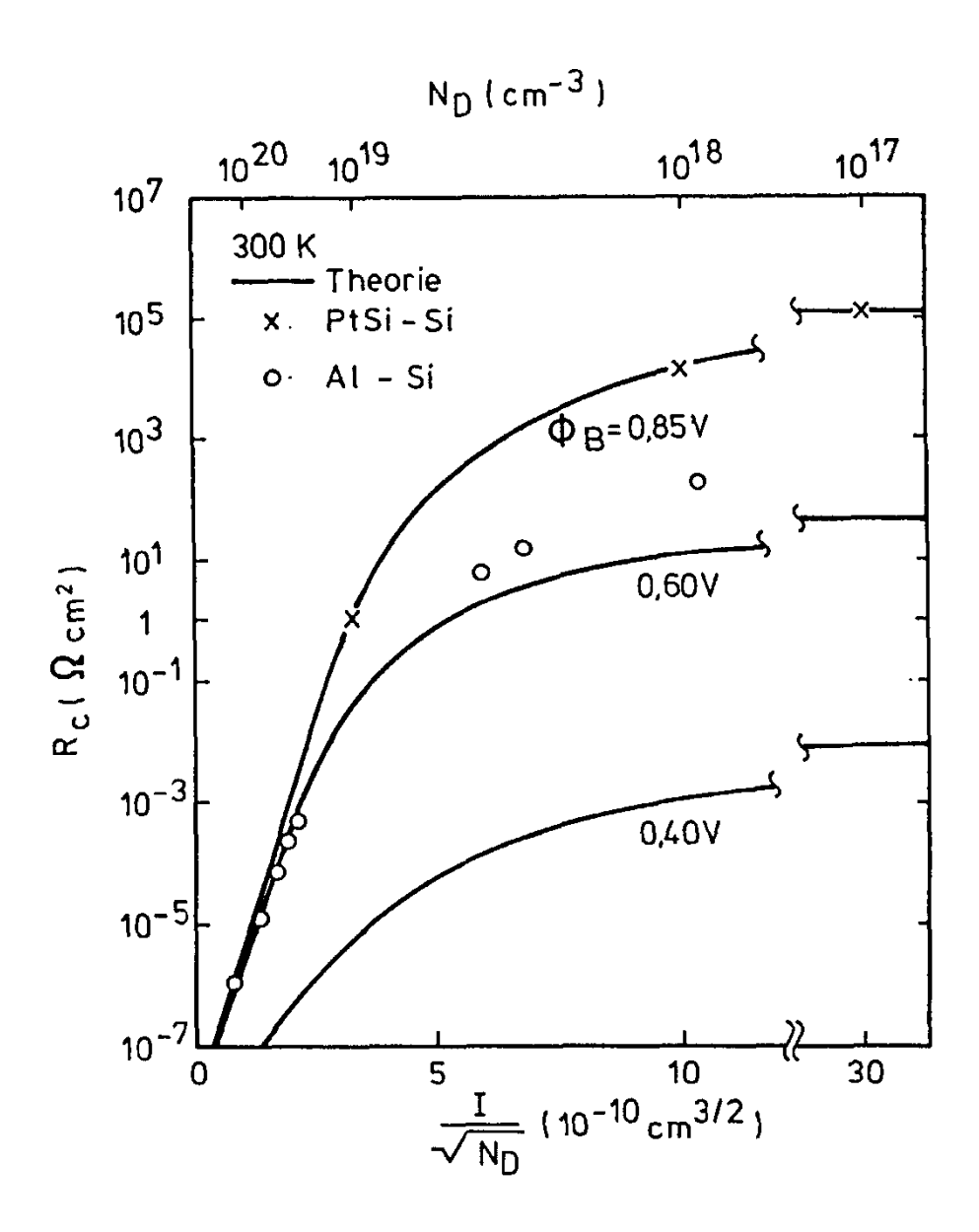
R<sub>6</sub>: Widerstand Sammelbus

## Ladungstransport am Metall-Halbleiter-Kontakt

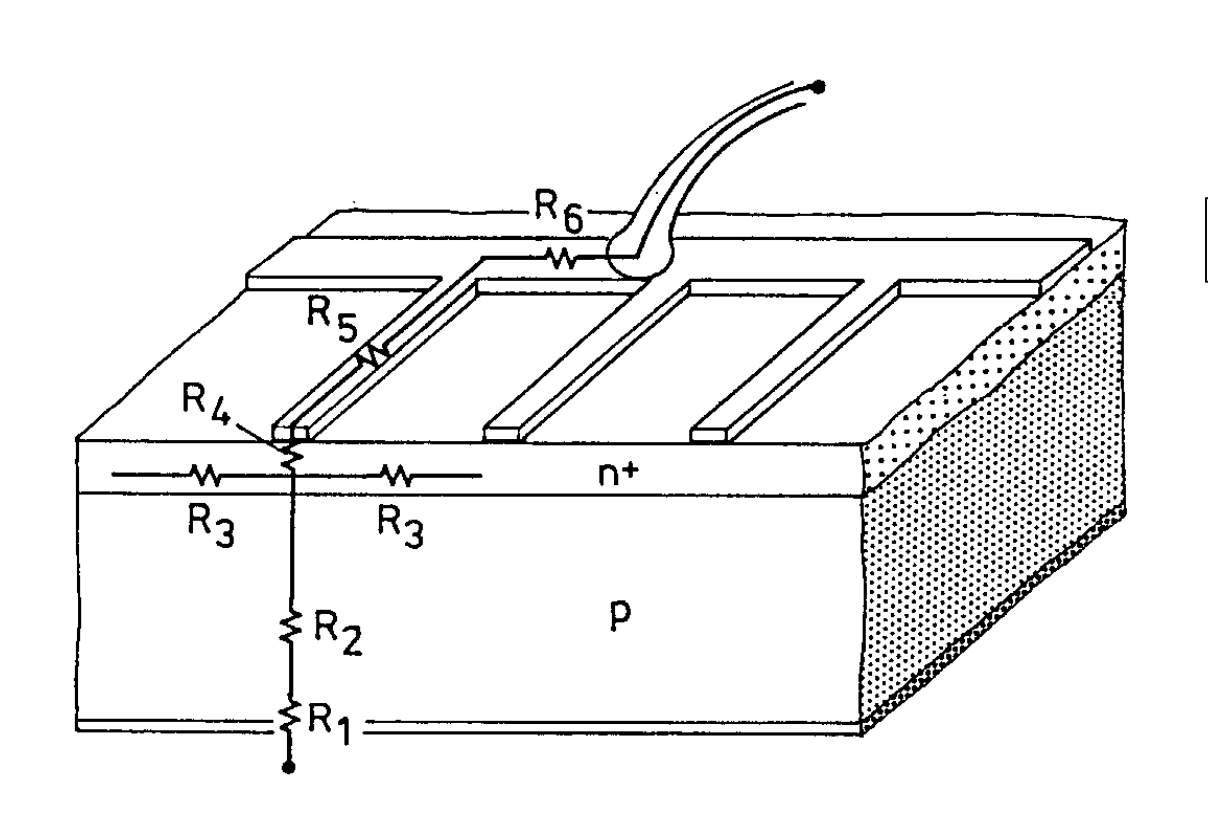


Quantenmechanisches Tunneln Thermionischer Effekt

## Kontaktwiderstand



-bei praktisch vorliegenden Dotierungswerten und Elektrodenmaterialien ist der Kontaktwiderstand zu vernachlässigen



$$R_2 = rac{
ho_{Si} d}{A}$$
 (ebenfalls vernachlässigbar)

R<sub>1</sub>: Widerstand Metall-Halbleiter-Kontakt Rückseite

R<sub>2</sub>: Widerstand der Basis

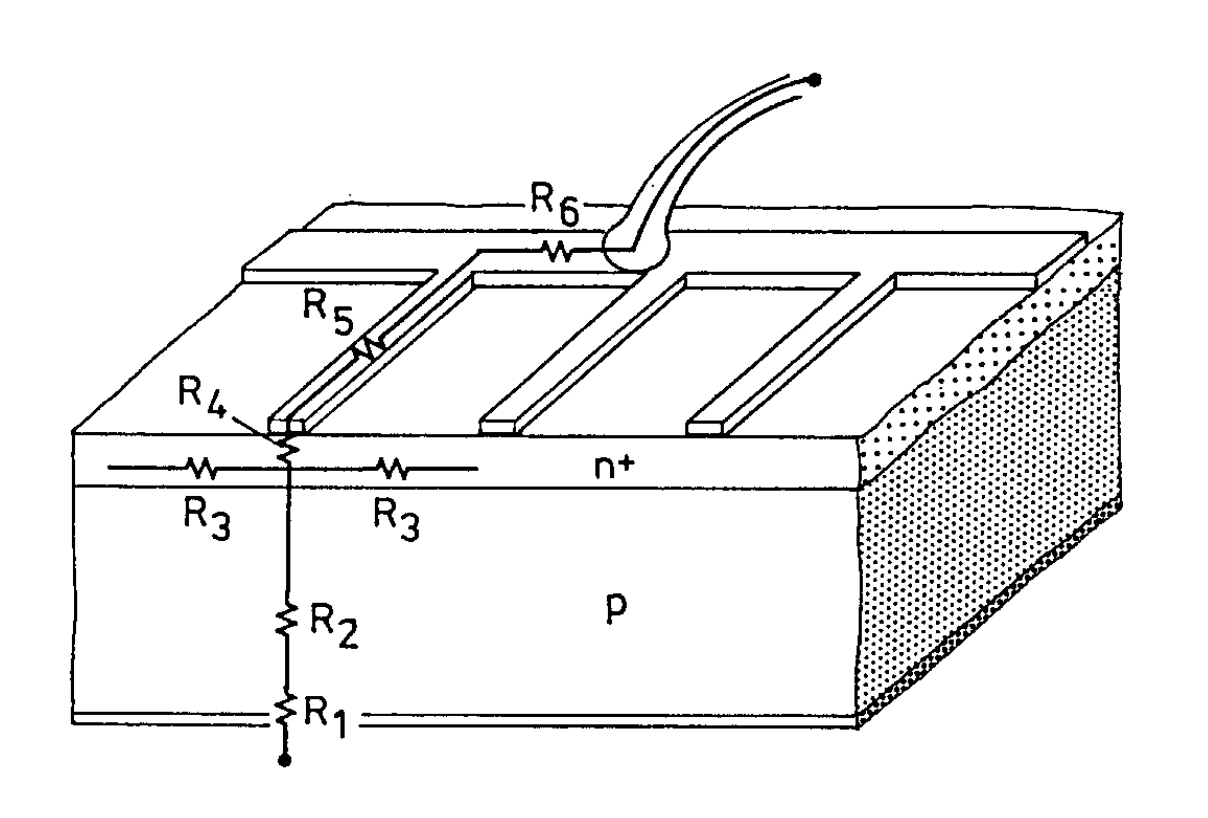
R<sub>3</sub>:Lateralwiderstand Emitter

R<sub>4</sub>:Widerstand Metall-Halbleiter Kontakt am Gitterfinger

R<sub>5</sub>: Widerstand Gitterfinger

R<sub>6</sub>: Widerstand Sammelbus

## Minimierung von Ohmschen Verlusten



R<sub>1</sub>: Widerstand Metall-Halbleiter-Kontakt Rückseite

R<sub>2</sub>: Widerstand der Basis

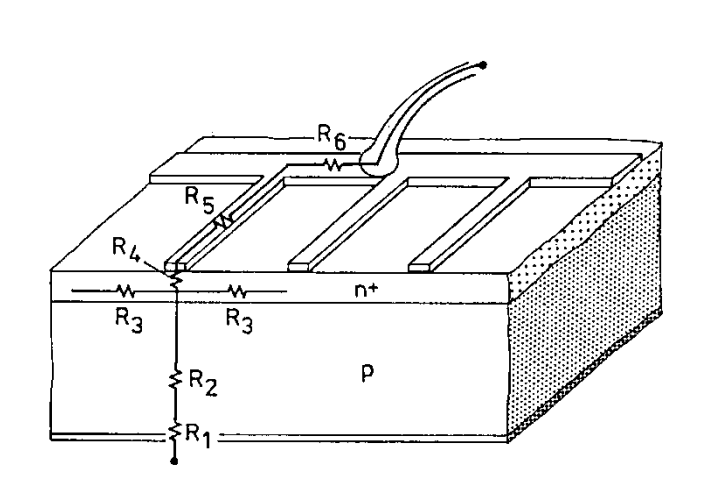
R<sub>3</sub>:Lateralwiderstand Emitter

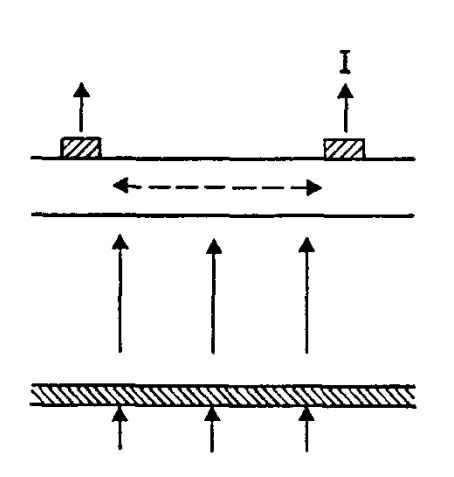
R<sub>4</sub>:Widerstand Metall-Halbleiter Kontakt am Gitterfinger

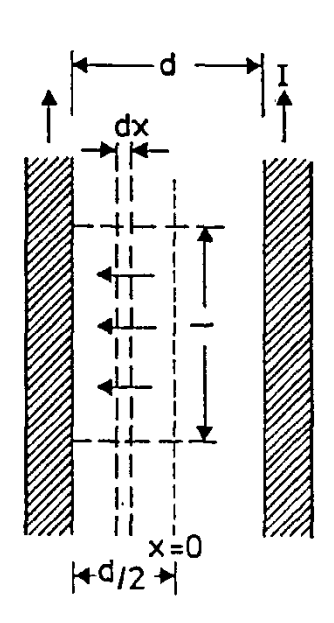
R<sub>5</sub>: Widerstand Gitterfinger

R<sub>6</sub>: Widerstand Sammelbus

# Lateralwiderstand zwischen Gitterfingern U.Lemmer PV 6.3.38





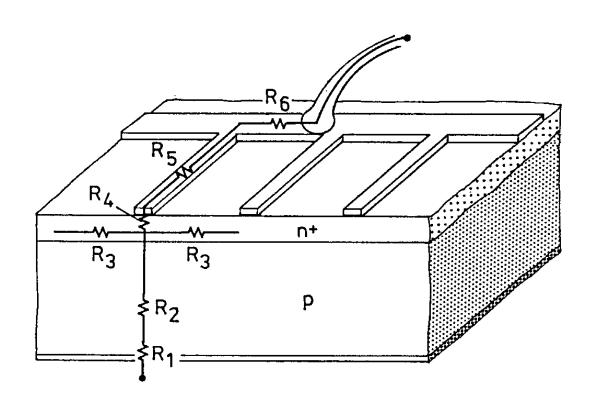


Integration ergibt Verlustleistung:

$$P = J^{2}IR_{\Box} \frac{d^{3}}{24} = \left(J^{2}I^{2} \frac{d^{2}}{4}\right) \frac{R_{\Box}d}{6I}$$

$$R_3 = \frac{R_{\Box}d}{6I}$$
 (ist relevant)

## Minimierung von Ohmschen Verlusten U.Lemmer



R<sub>1</sub>: Widerstand Metall-Halbleiter-Kontakt Rückseite

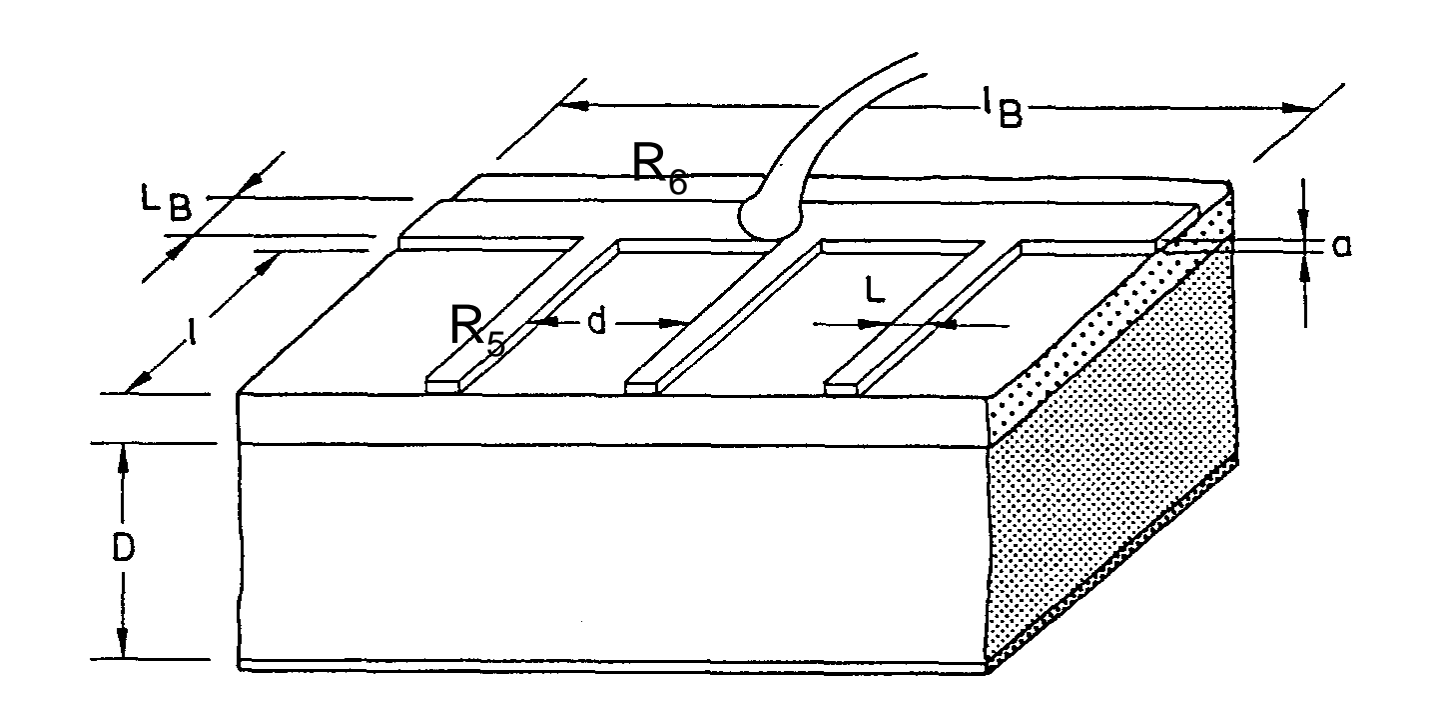
R<sub>2</sub>: Widerstand der Basis

R<sub>3</sub>:Lateralwiderstand Emitter

R<sub>4</sub>:Widerstand Metall-Halbleiter Kontakt am Gitterfinger

R<sub>5</sub>: Widerstand Gitterfinger

R<sub>6</sub>: Widerstand Sammelbus



$$R_5 = \rho_{met} \frac{l}{3aL}$$

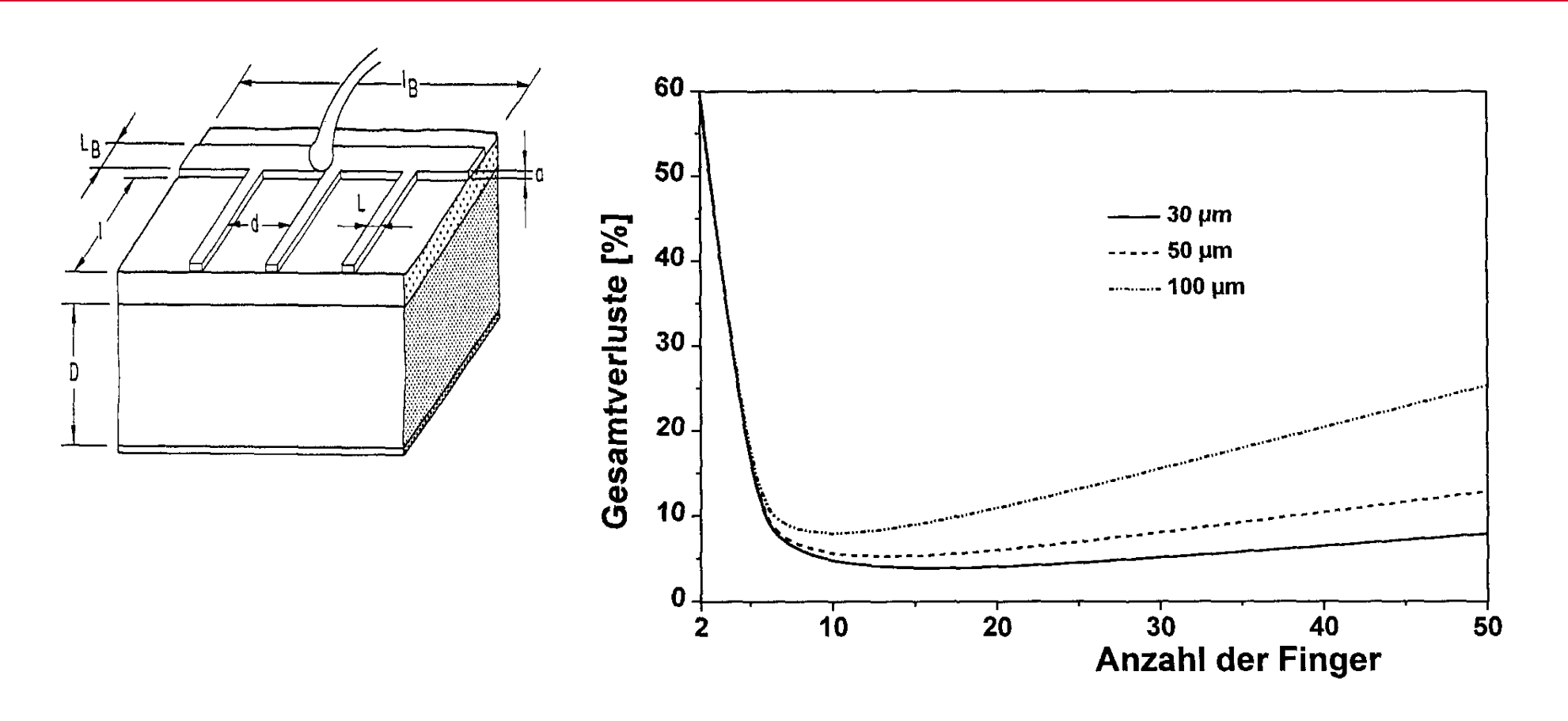
(beide relevant)

$$R_6 = \rho_{met} \frac{l_B}{6aL_B}$$

Minimierung der Ohmschen Verluste: a groß, d klein

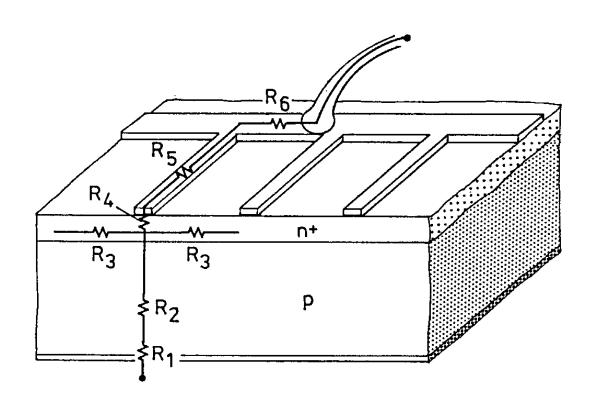
- → viele Finger,
- → große Flächen

# Aber: Abschattungsverluste/Minimierung von optischen Verlusten



- Kompromiss zwischen Abschattung und und ohmschen Verlusten
- Verwendung von spitz zulaufenden Fingern

# Minimierung von Ohmschen Verlusten U.Lemmer PV 6.3.42



R<sub>1</sub>: Widerstand Metall-Halbleiter-Kontakt Rückseite

R<sub>2</sub>: Widerstand der Basis

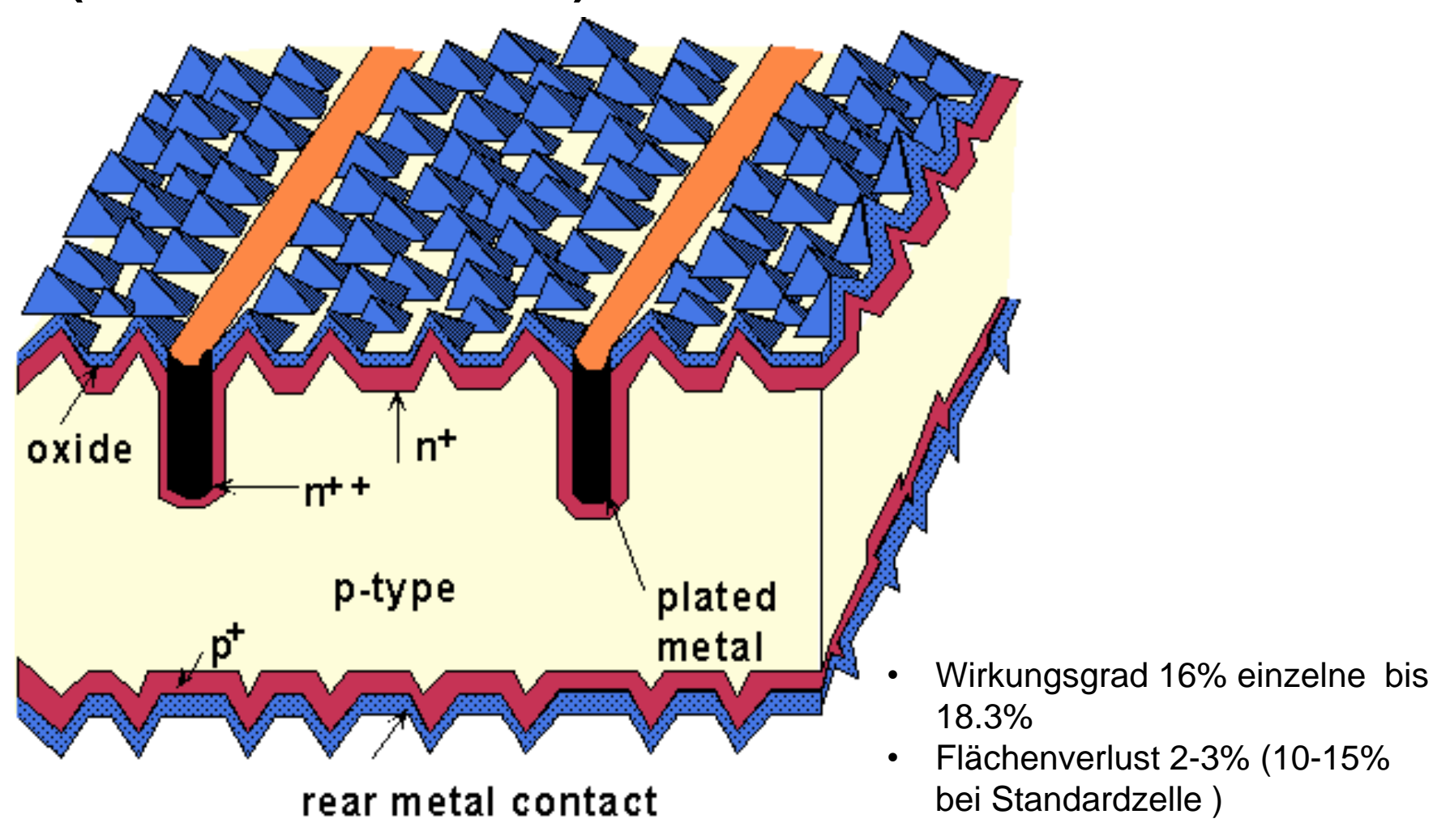
R<sub>3</sub>:Lateralwiderstand Emitter

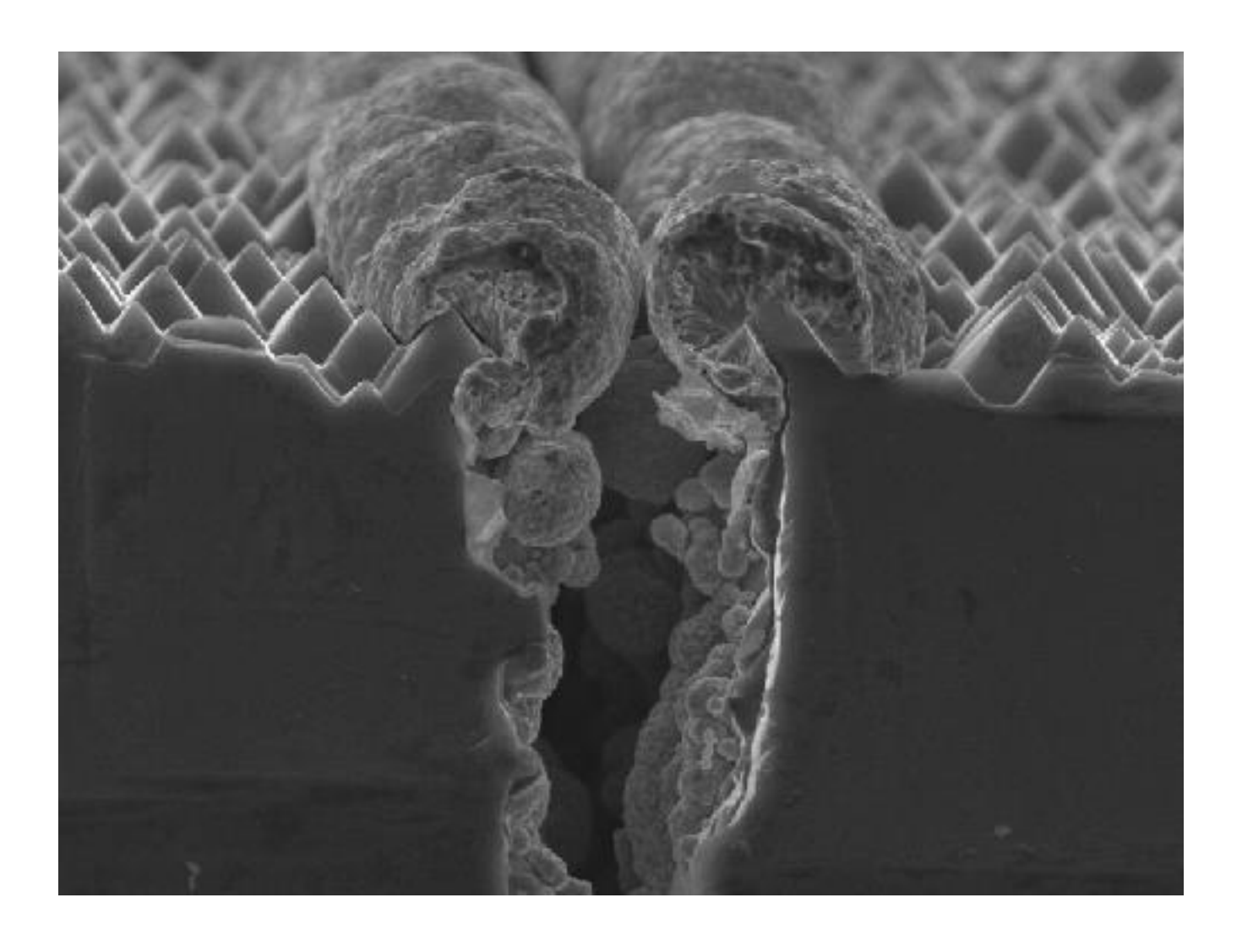
R<sub>4</sub>:Widerstand Metall-Halbleiter Kontakt am Gitterfinger

R<sub>5</sub>: Widerstand Gitterfinger

R<sub>6</sub>: Widerstand Sammelbus

# Laser Grooved, Buried Contact Solar Cell (Saturn Zelle von BP)





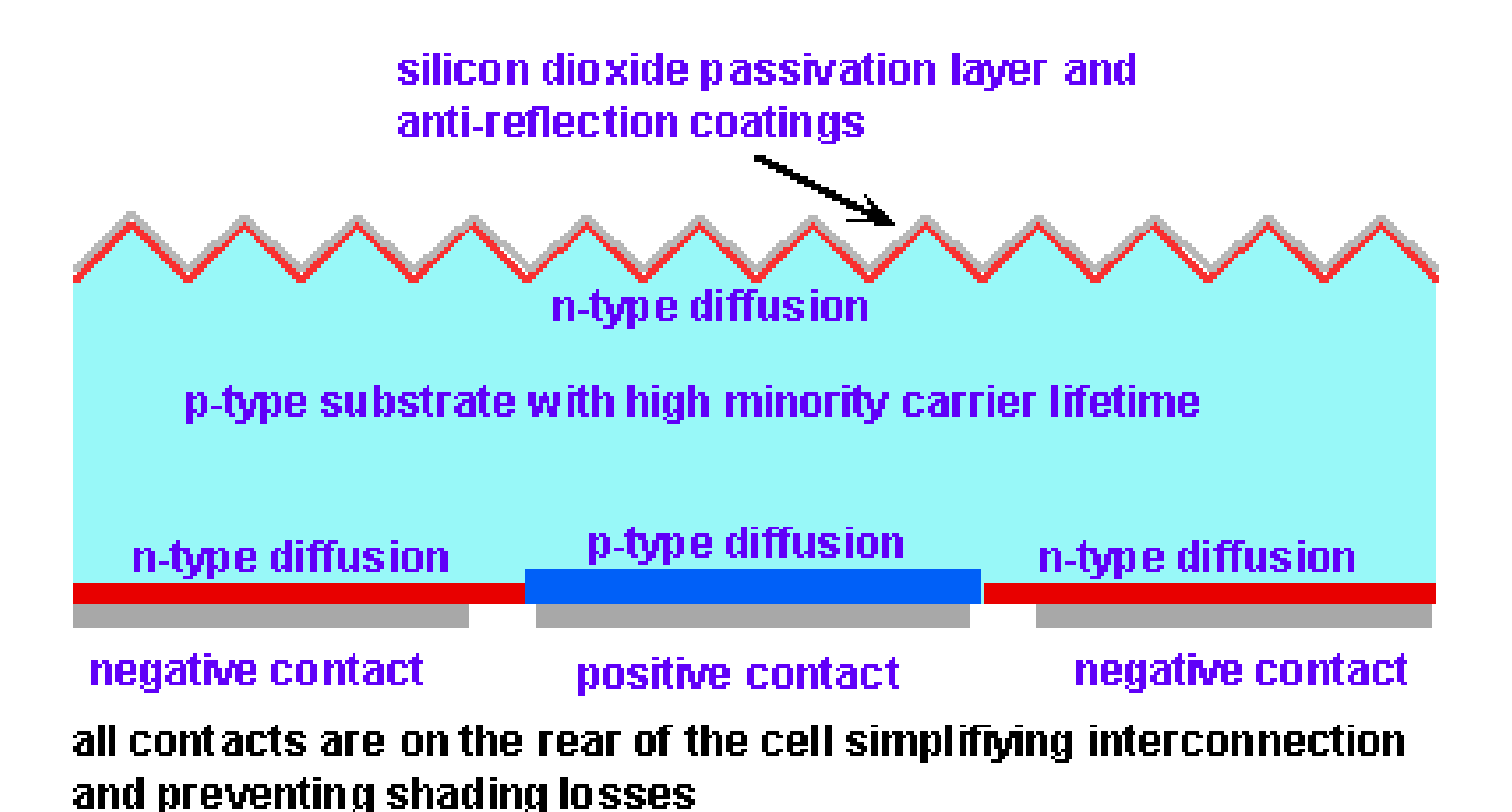
Cross section of a partially plated laser groove.

## **Vorlesung Photovoltaik, Kapitel 6.3**

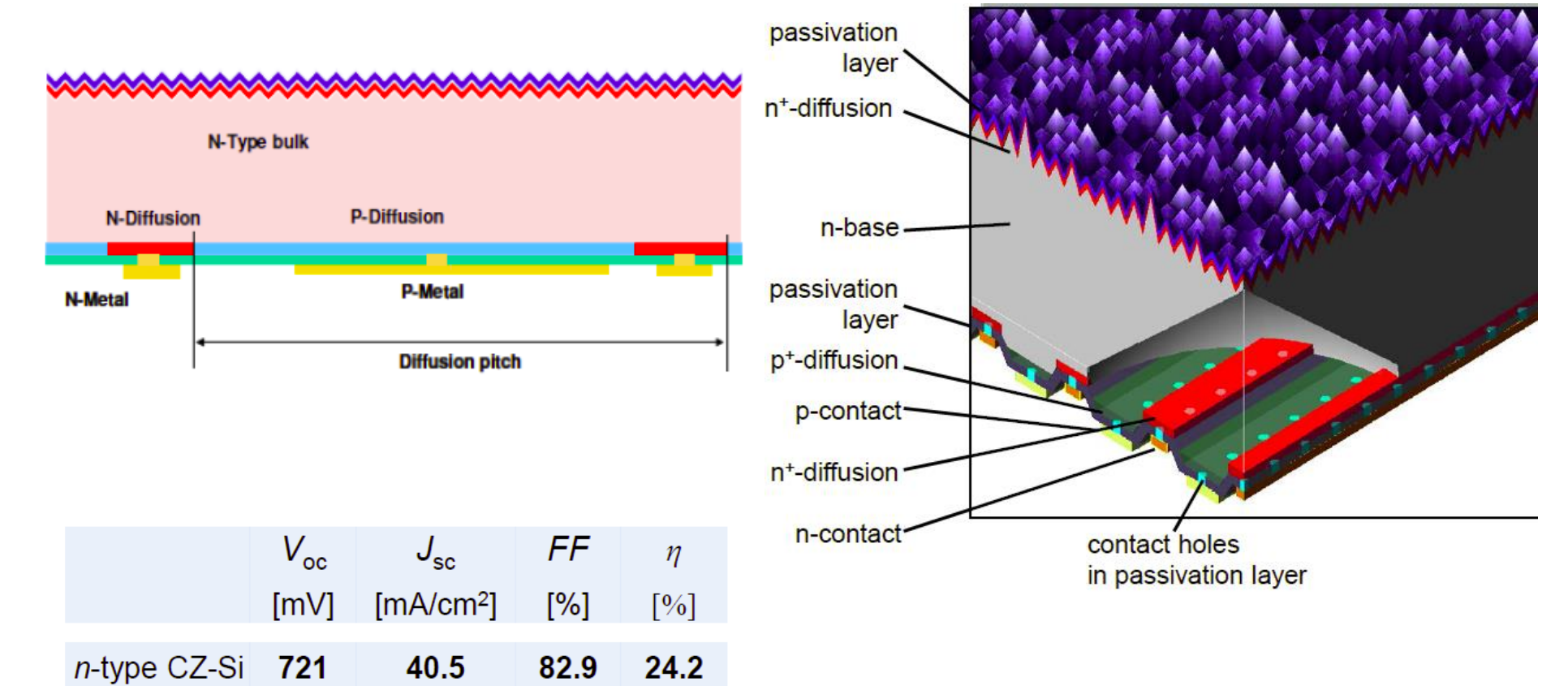
## 6.3 Hochleistungskonzepte für Si-Solarzellen

- 6.3.1 Rolle des Wirkungsgrades
- 6.3.2 Minimierung rekombinatorischer Verluste
- 6.3.3 Optische Optimierung
- 6.3.4 Minimierung ohmscher Verluste
- 6.3.5 Rückseitenkontaktzellen

## Rückkontakt Zellen

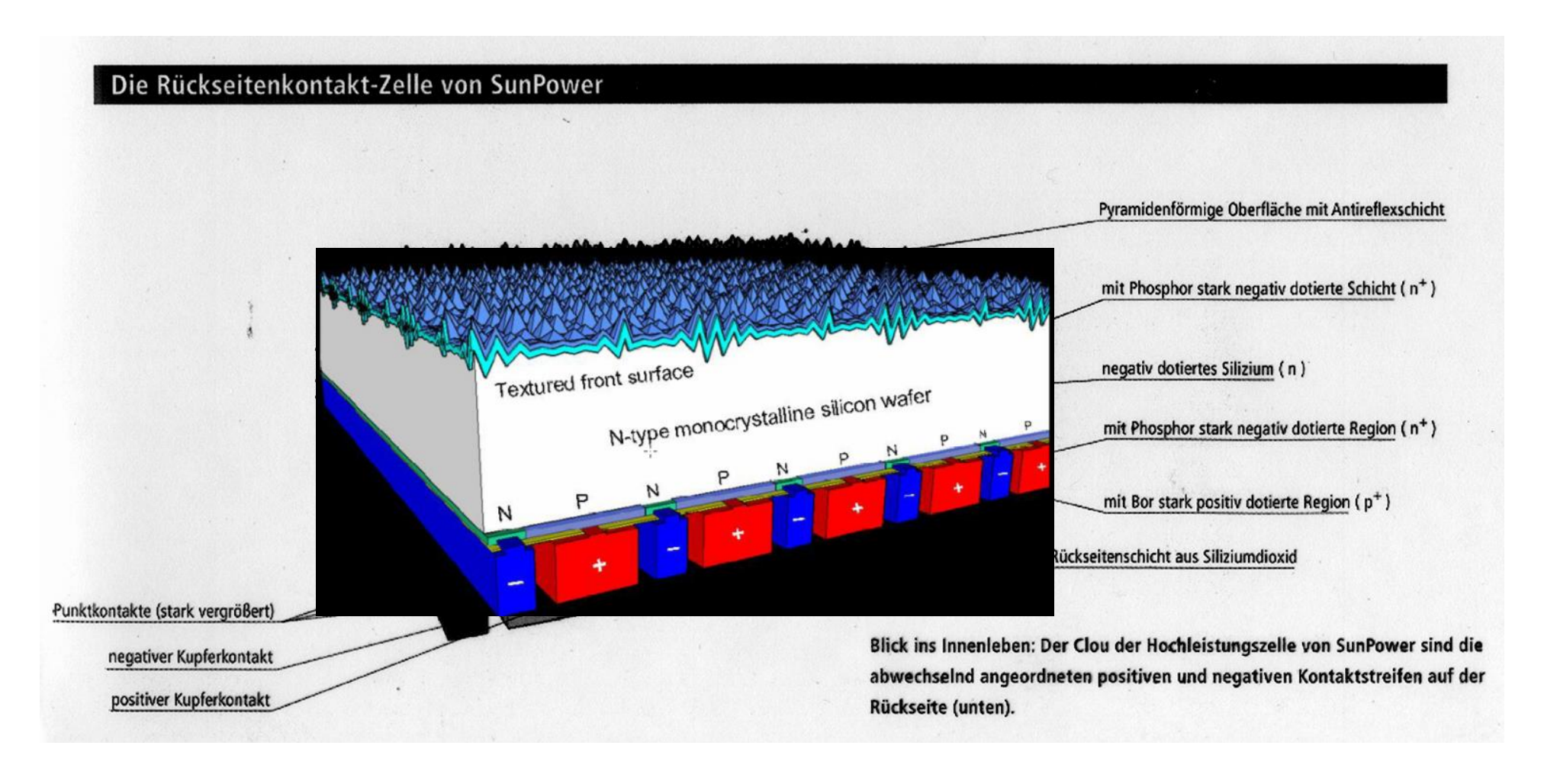


## Interdigitated Back contact Cell (IBC), n-type



Modulwirkungsgrade > 21%

155 cm<sup>2</sup>

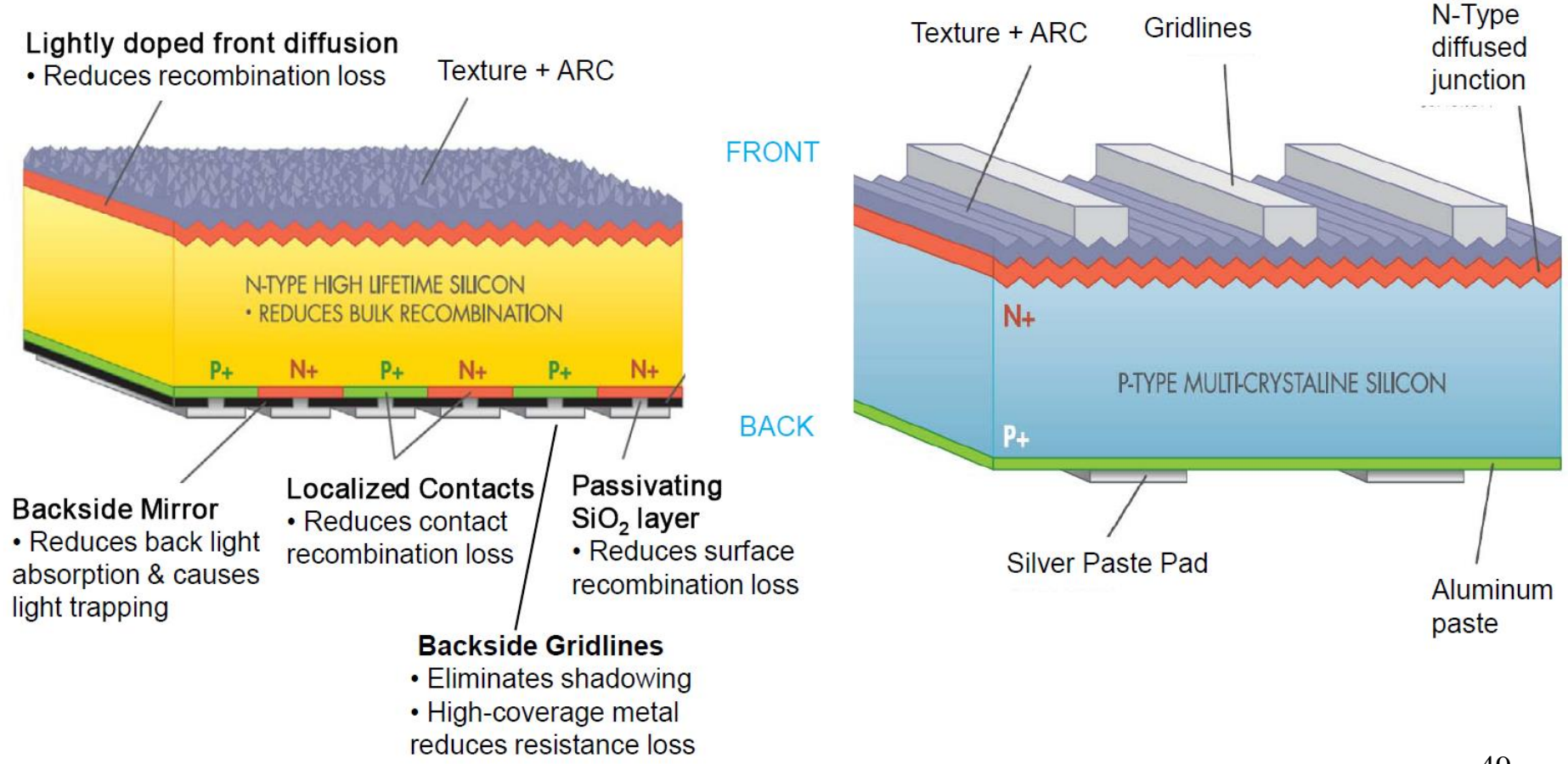


Beide Kontakte auf Rückseite: längerer Weg FZ-Wafer (doppelt so teuer wie Cz), Ersatz der Photolithographie durch drei Siebdruckschritte, Wirkungsgrad > 21%

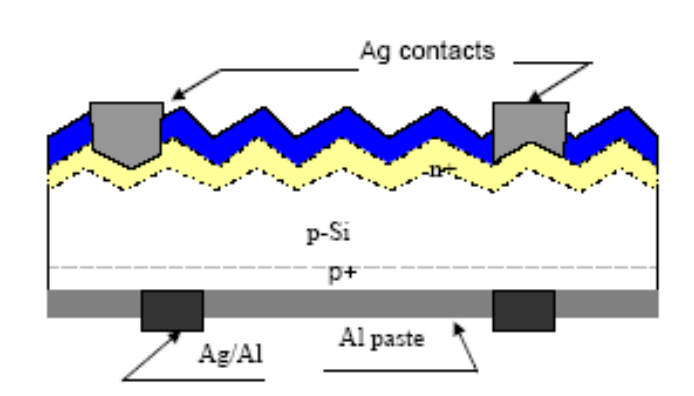
## SunPower vs. Conventional c-Si Cell

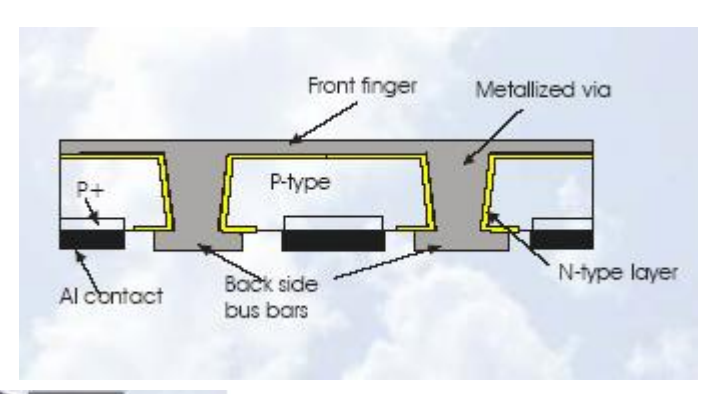


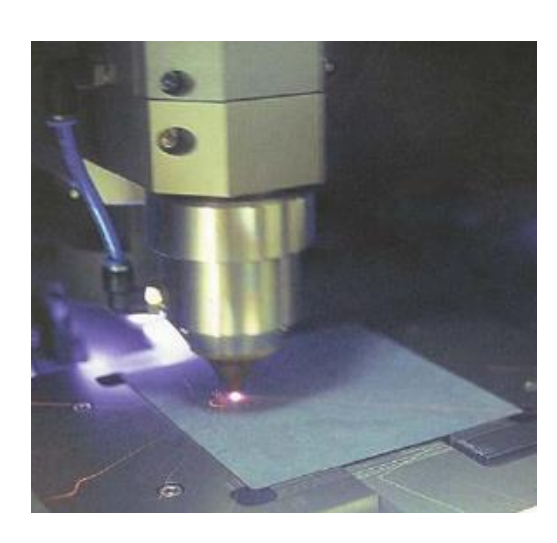
CONVENTIONAL SOLAR CELL 15% EFFICIENCY

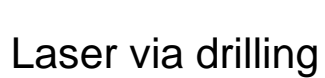


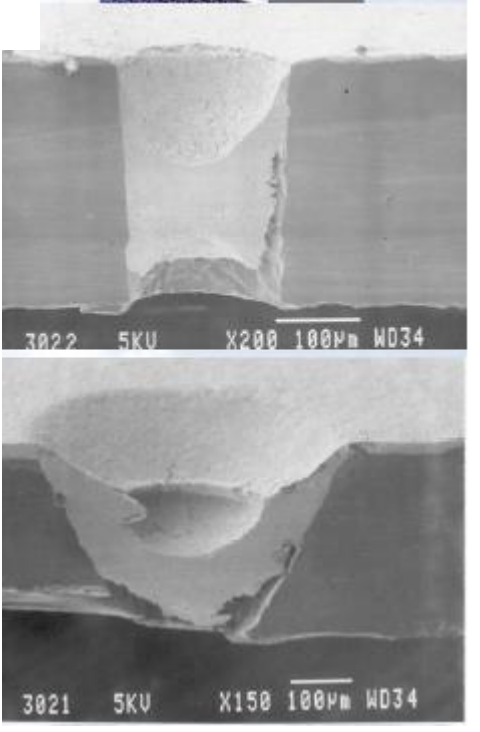
## Solland Solar, Netherlands (MWT: metall wrap through)



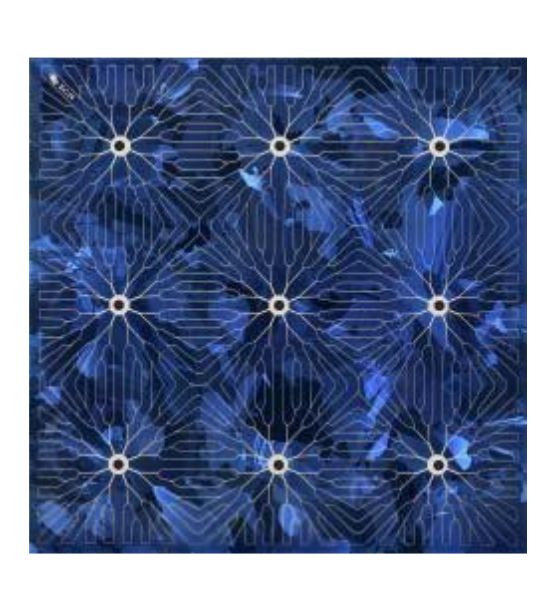








Vias metallization



Nach J. Szlufcik

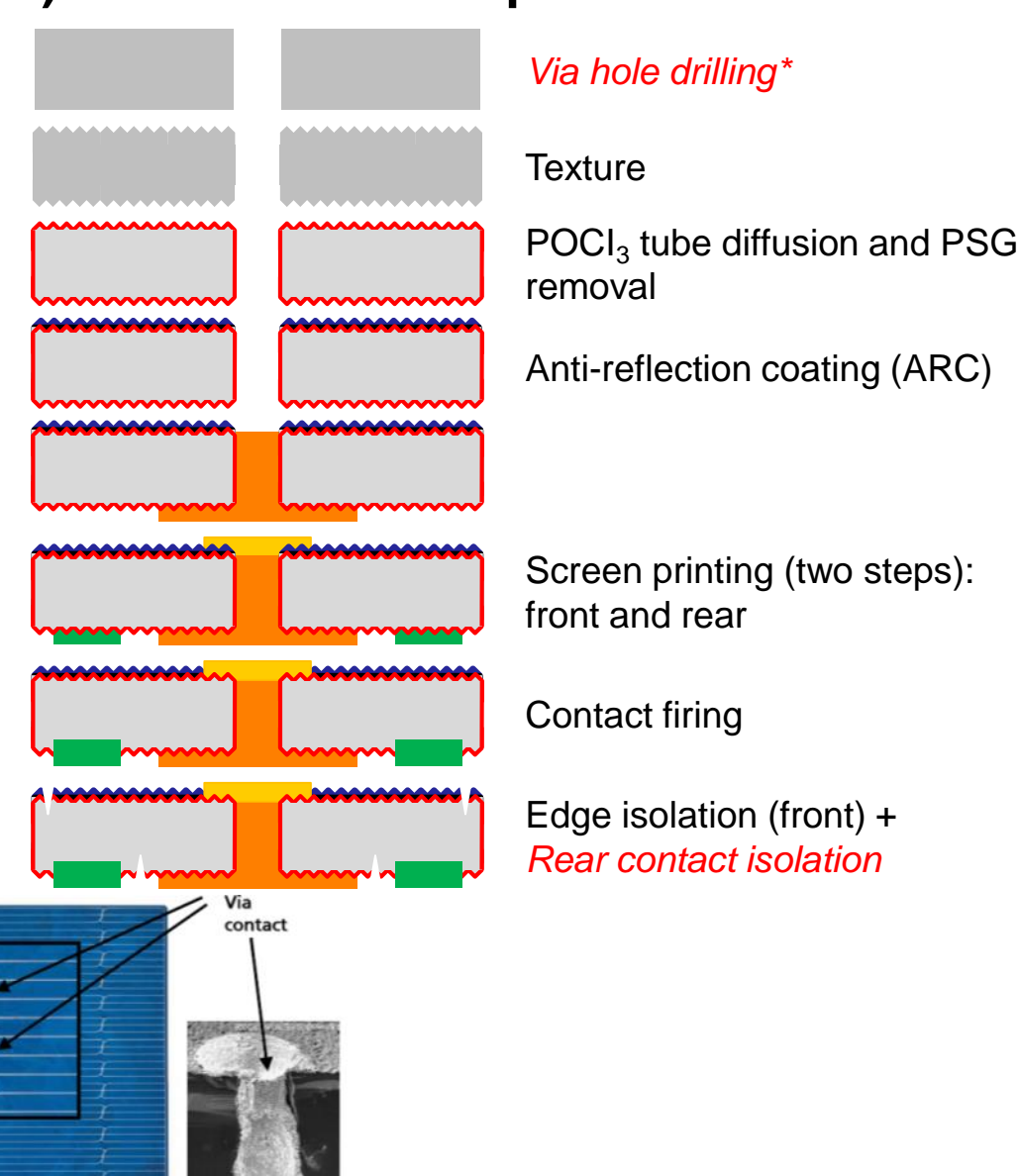
## Metal Wrap Through (MWT) Zelle: Prozesssequenz am Fraunhofer ISE

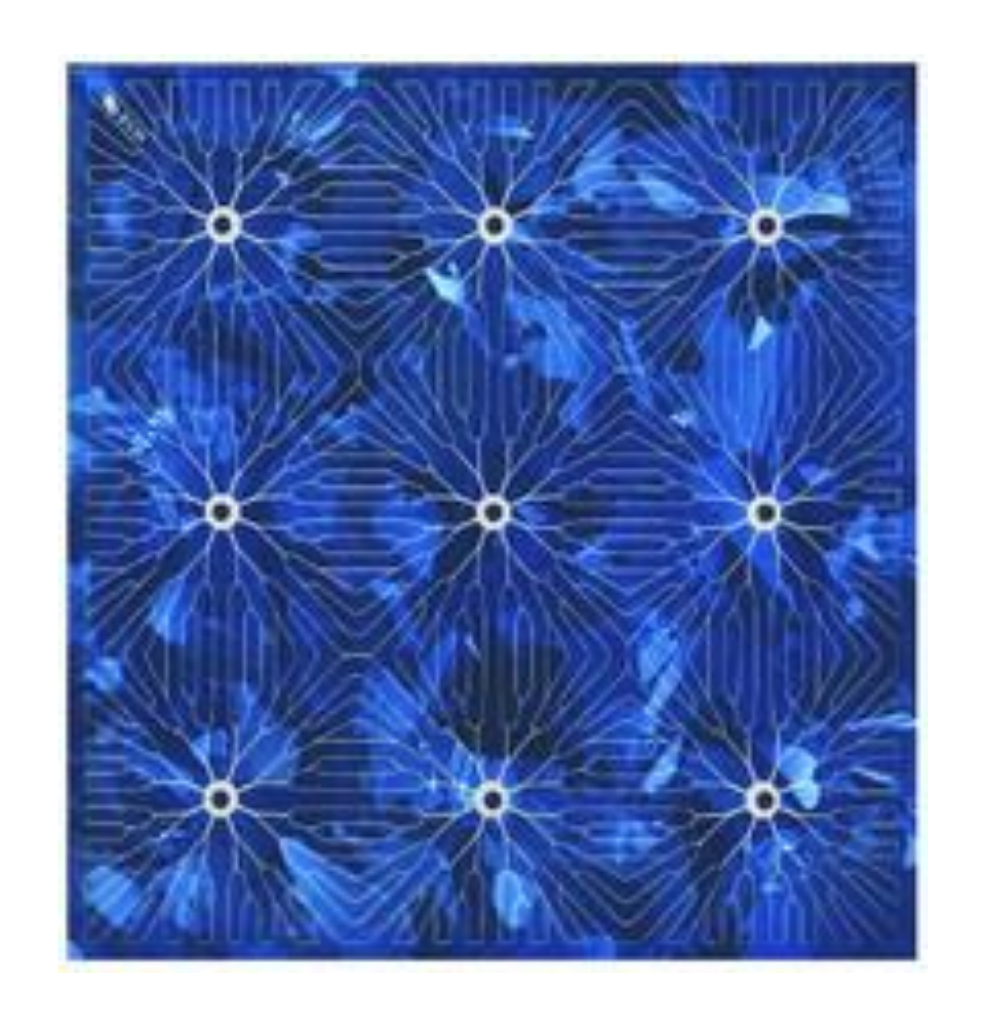
SEM image

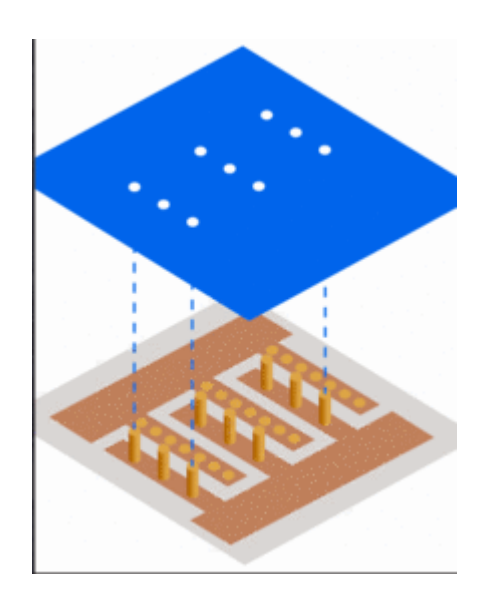
156 mm

#### Vorteile:

- Keine frontseitigen "busbars"
  - Ästhetik
  - Weniger Abschattung, mehr Strom
- Rückseitige Verschaltung zum Modul
- Geringere
   Serienverschaltungsverluste
- Nur wenige zusätzliche Prozessschritte



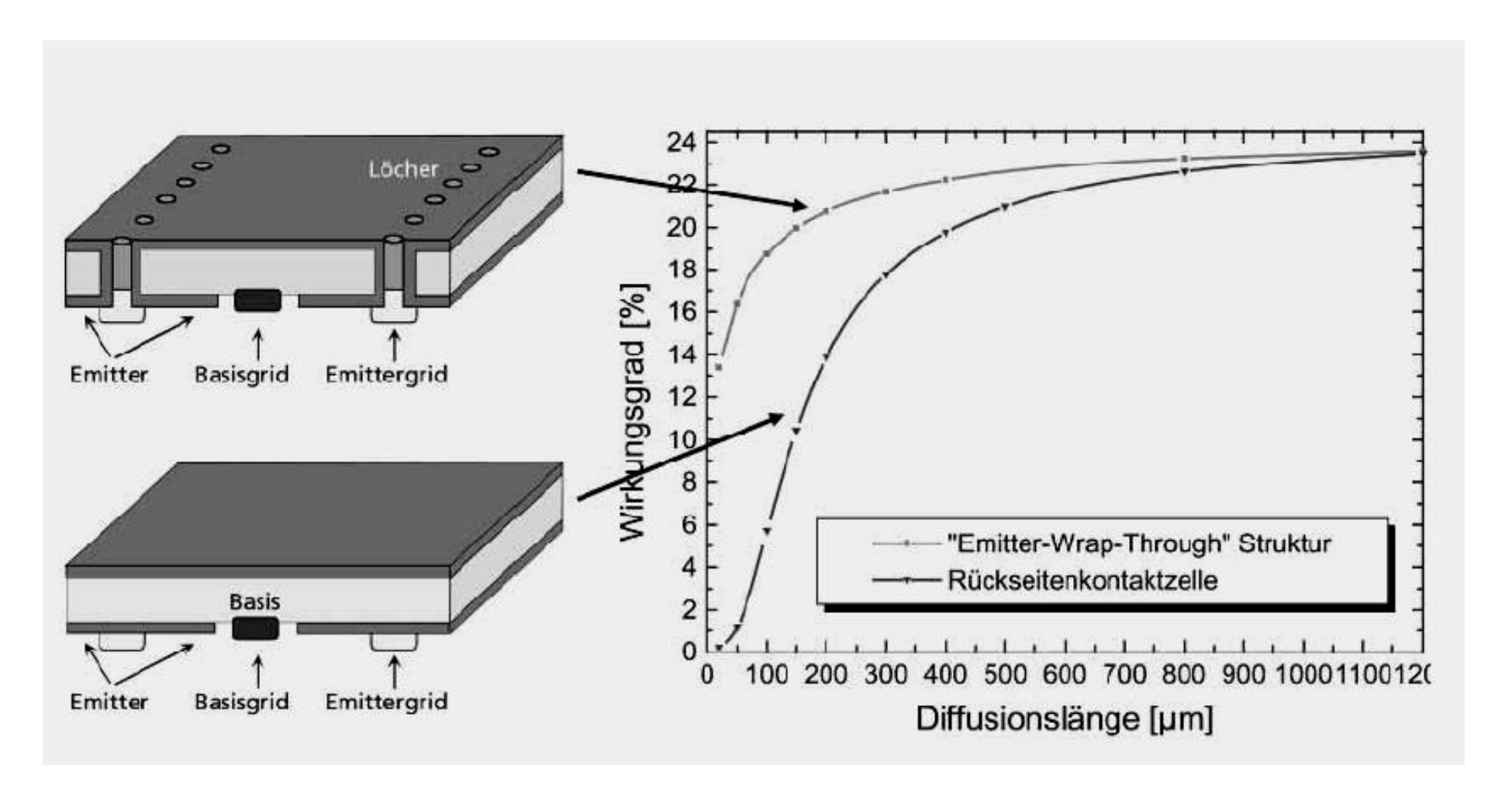




Einfache Verschaltung von speziellen MWT-Solarzellen im "pick-and-place" Verfahren.

Quelle: ECN, BINE

Vergleich des Einflusses der Diffusionslänge auf den Wirkungsgrad einer "Emitter-Wrap Through"-Zelle = beidseitig diffundierter Emitter (oben) und einer Rückseitenkontaktzelle (unten).



Quelle: FVEE

## Rückkontaktzellen für weniger Verluste

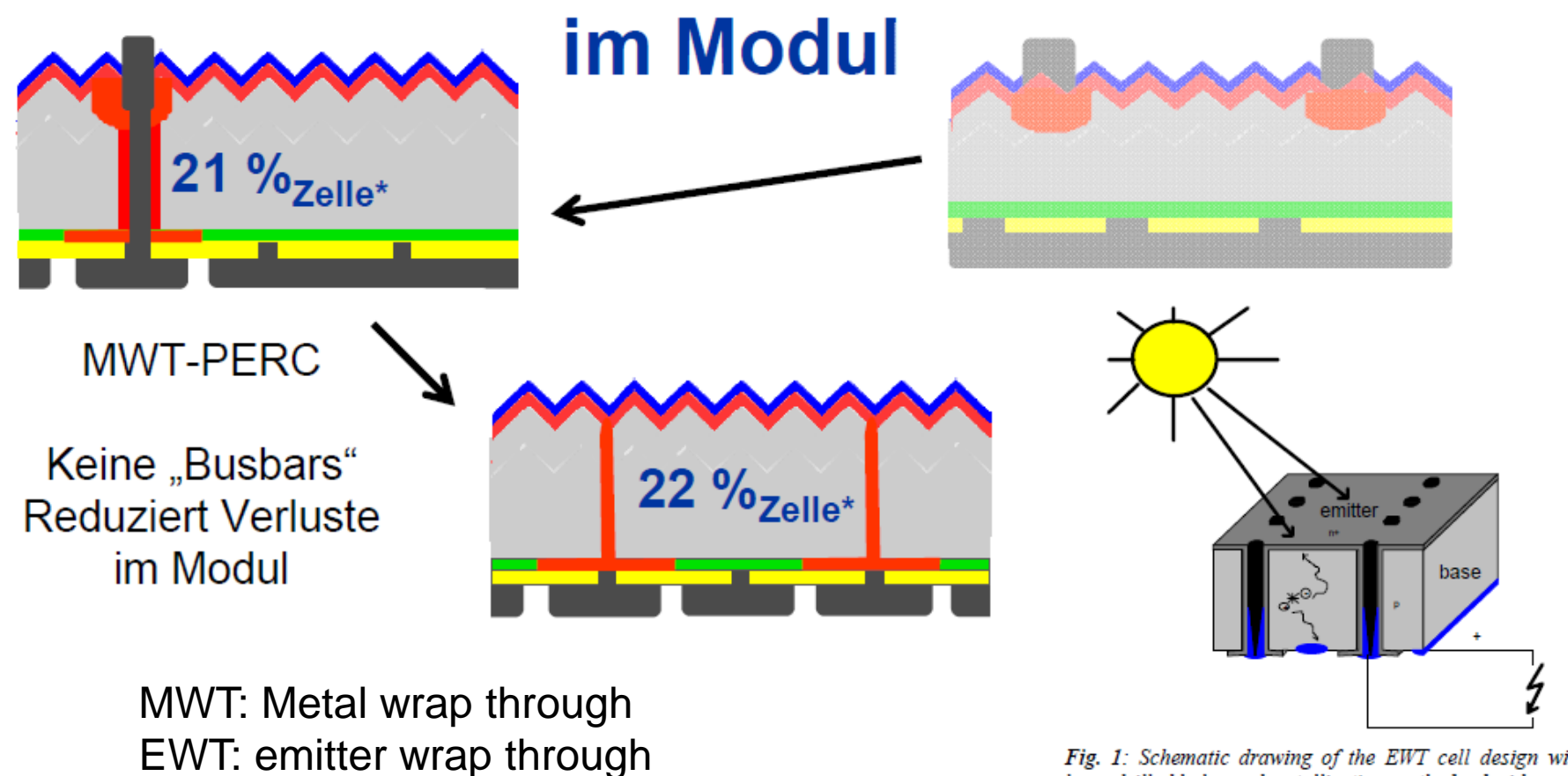


Fig. 1: Schematic drawing of the EWT cell design with laser drilled holes and metallisation on the back-side.

## Zusammenfassung und Vergleich der Hocheffizienzkonzepte

Die Siliziumindustrie hat die Aktivitäten in den letzten Jahren im Bereich der Hocheffizienzzellen auf der Basis von einkristallinen Si-Wafern deutlich verstärkt. Der Laborweltrekord liegt bei 25 % (das theoretische Maximum bei 28 %). Die beste industriell hergestellte Si-Zelle liegt bei 23,4 % (Fa. Sunpower, Cypress, Q-Cells, ISE, Panasonic 25,6% (Laborwert)). Folgende Entwicklungen sind aufzuführen:

#### 1. FZ versus CZ-Silizium

n-Typ CZ: 125 x 125 mm² pseudo square: alle Defekte haben größere Einfangsquerschnitte für Löcher ⇒ n-Typ besser (Nachteil Emitter s. u.) p-Typ (B-O-Komplex → licht-induzierte Degradation) FZ zwar besser, aber teurer

→ klarer Trend zu n-Typ CZ (Dicke 150 – 280 μm) (Einfangsquerschnitt für Elektronen ist größer ⇒ wenn Löcher die Minoritäten sind → günstigere Bedingungen, größere Toleranz gegenüber Verunreinigungen (Fe))

### 2. Zellkonzept

- Metall Wrap Through Finger oben, Löcher in Zelle, Ableiter hinten
   Emitter Wrap Through Gesamte Metalle hinten, nur Emitter vorne (gleiche Sammlung; ca. 10.000 Löcher auf Zelle)
   Rückkontaktzelle "High end"-Lösung, alles hinten,
- Diffusionslänge muss 3 4 mal größer sein!
- 2.4 HIT-Zelle auch n-Typ-Si, Emitter a-Si

#### 3. Technologie

B-Diffusion über BbR3 (?) → flüssig mit N2 → Borglas, im Prinzip Gasphasendiffusion aber schwieriger und höhere T als bei P Keine Photolithographie, Äther mit KOH/Isopropanol → "random Pyramide" / keine invertierte Pyramide (wäre Maskierung notwendig)

→ Einsatz Laser (selektive Emitter): Fokussierung des Laserstrahls (ohne Maskierung)

SiNx-Antireflexschicht Modultechnik: rückseitig, kleine Zellverbinder; perspektivisch → Leiterbahnen auf Glas (Problem thermische Ausdehnung)

#### **Fazit**

- CZ n-Typ macht Rennen bei Hocheffizienz; → Rückkontaktzelle
- 20 %-Zellen ist eher konservative Aussage (rückseitige Passivierung (PERC) setzt sich durch), Kombinationen der Konzepte werden auch bearbeitet
- Neben verbesserten Zellkonzepten gibt es auch Fortschritte bei den Materialien: z.B. verbesserte Pasten, verbessertes poly-Si Material
- Bei Poly Si gibt es auch Verbesserungen (i-PERC: Kombination von IBC und PERC → 20-21%)